

**ANALISIS SENTIMEN ULASAN VIDEO ANIMASI MENGGUNAKAN  
METODE *LATENT SEMANTIC INDEXING***

SKRIPSI

Diajukan untuk memenuhi sebagian persyaratan  
memperoleh gelar Sarjana Komputer

Disusun oleh:  
Faraz Dhia Alkadri  
NIM: 135150200111039



PROGRAM STUDI TEKNIK INFORMATIKA  
JURUSAN TEKNIK INFORMATIKA  
FAKULTAS ILMU KOMPUTER  
UNIVERSITAS BRAWIJAYA  
MALANG  
2018

## PENGESAHAN

ANALISIS SENTIMEN ULASAN VIDEO ANIMASI MENGGUNAKAN METODE *LATENT SEMANTIC INDEXING*

SKRIPSI

Diajukan untuk memenuhi sebagian persyaratan  
Memperoleh gelar sarjana komputer

Disusun Oleh :

Faraz Dhia Alkadri

NIM : 135150200111039

Skripsi telah diuji dan dinyatakan lulus pada

1 Agustus 2018

Telah diperiksa dan disetujui oleh :

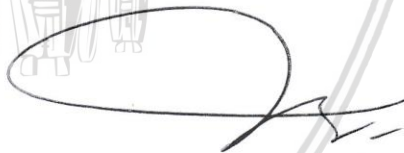
Dosen Pembimbing I

Dosen Pembimbing II



Yuita Arum Sari, S.Kom., M.Kom

NIK. 21060988 0715 2 001



Ir. Sutrisno, M.T

NIP. 19570325 198701 1 001

Mengetahui

Ketua Jurusan Teknik Informatika



Dr. Astoto Kurniawan, S.T, M.T, Ph.D

NIP. 19710518 200312 1 001



## PERNYATAAN ORISINALITAS

Saya menyatakan dengan sebenar-benarnya bahwa sepanjang pengetahuan saya, di dalam naskah skripsi ini tidak terdapat karya ilmiah yang pernah diajukan oleh orang lain untuk memperoleh gelar akademik di suatu perguruan tinggi, dan tidak terdapat karya atau pendapat yang pernah ditulis atau diterbitkan oleh orang lain, kecuali yang secara tertulis disitasi dalam naskah ini dan disebutkan dalam daftar pustaka.

Apabila ternyata didalam naskah skripsi ini dapat dibuktikan terdapat unsur-unsur plagiasi, saya bersedia skripsi ini digugurkan dan gelar akademik yang telah saya peroleh (sarjana) dibatalkan, serta diproses sesuai dengan peraturan perundang-undangan yang berlaku (UU No. 20 Tahun 2003, Pasal 25 ayat 2 dan Pasal 70).



Malang, 5 Agustus 2018



Faraz Dhia Alkadri

NIM: 135150200111039

## KATA PENGANTAR

Puji syukur saya panjatkan kehadirat Tuhan Yang Maha Esa, karena berkat rahmat dan hidayah-Nya, penulis dapat menyelesaikan laporan Skripsi yang berjudul “Analisis Sentimen Ulasan Video Animasi Menggunakan Metode *Latent Semantic Indexing*”.

Skripsi ini merupakan salah satu mata kuliah wajib sebagai syarat kelulusan di Fakultas Ilmu Komputer Universitas Brawijaya. Laporan ini disusun sebagai syarat kelulusan dalam studi di Universitas Brawijaya.

Dalam penyusunan laporan ini penulis mendapatkan banyak bantuan dari berbagai pihak baik secara moril maupun materiil. Dalam kesempatan ini penulis ingin mengucapkan terimakasih yang sebesar-besarnya kepada :

1. Ibu Yuita Arum Sari, S.Kom., M.Kom, selaku Dosen Pembimbing 1 dan Bapak Sutrisno, Ir., M.T, selaku Dosen Pembimbing 2 yang telah membimbing, memberi saran serta motivasi kepada penulis selama penyusunan skripsi ini.
2. Seluruh dosen dan civitas akademika Fakultas Ilmu Komputer yang telah memberikan wawasan, bantuan dan dukungan yang sangat bermanfaat bagi penulis.
3. Kedua orang tua penulis, atas segala dukungan yang diberikan kepada penulis, terutama Ibu tercinta saya.
4. Teman-teman dari EROrganization yang telah banyak membantu kelancaran pelaksanaan dan penyusunan laporan Skripsi ini.

Saya menyadari bahwa dalam penyusunan laporan Skripsi ini masih banyak kekurangan baik dari segi susunan maupun isi. Oleh karena itu, saya dengan senang hati menerima kritik dan saran yang membangun sebagai pedoman perbaikan kedepannya.

Malang, 5 Agustus 2018

Penulis

farazalk@gmail.com

## ABSTRAK

**Faraz Dhia Alkadri., Analisis Sentimen Ulasan Video Animasi Menggunakan Metode *Latent Semantic Indexing***

**Pembimbing : Yuita Arum Sari, S.Kom., M.Kom. Ir. Sutrisno, M.T.**

Video animasi berkembang dengan sangat pesat menghasilkan puluhan bahkan ratusan judul per-tahunnya. Tentunya tidak semuanya video animasi yang dihasilkan menarik untuk ditonton. Beberapa dari video tersebut mungkin terlihat tidak menarik untuk beberapa orang. Untuk mengetahui apakah video animasi tergolong menarik atau tidak, pengguna dapat melihat ulasan-ulasan yang diberikan pengguna lain tentang video animasi tersebut. Beberapa *website* yang memang bertujuan untuk memfasilitasi para penggunanya untuk dapat saling memberikan *feedback* berupa ulasan tentang video animasi yang telah mereka tonton. Dari ulasan tersebut dapat dilihat sentimennya apakah ulasan tersebut merupakan ulasan yang tergolong ke dalam sentimen positif atau sentimen negatif. Metode *Latent Semantic Indexing* (LSI) yang mengadopsi proses reduksi matriks *Singular Value Decomposition* (SVD) digunakan untuk mencari relevansi antar dokumen. Dengan metode LSI dapat mengetahui ulasan tersebut tergolong pada sentimen positif atau sentimen negatif. Metode TF IDF digunakan untuk mengolah data tekstual menjadi data numerik dan *Cosine similiary* yang digunakan untuk menghitung kemiripan antar data yang selanjutnya digolongkan ke dalam sentimen kelas positif dan sentiment kelas negatif. pengujian dilakukan sebanyak 19 kali dengan menggunakan masukkan *k-rank* yang berbeda-beda. Berdasarkan hasil pengujian, sistem ini menghasilkan akurasi optimal di *k-rank = 10* yaitu sebesar 86% sehingga dapat disimpulkan bahwa penggunaan *metode latent semantic indexing* baik digunakan untuk mencari relevansi antar dokumen.

**Kata Kunci :** Sentimen analisis, *Latent Semantic Indexing*, *Singular Value Decomposition*.

## ABSTRACT

**Faraz Dhia Alkadri., *Sentiment Analysis on Review of Animation Video Using Latent Semantic Indexing***

**Supervisors : Yuita Arum Sari, S.Kom., M.Kom. Ir. Sutrisno, M.T.**

*Animation videos are growing significantly producing tens even hundreds of titles per year. Certainly not everything were produced was interesting. Some of these videos may not be appealing to some people. To find out whether the animated videos is interesting or not, users can read the reviews given by other user about animation videos. Some sites that are intended to facilitate its users to be able give each other feed back about the animation video they have watched. From those reviews can be seen sentiment whether the review is a review that classified in to positive class sentiment or negative class sentiment. The Latent Semantic Indexing (LSI) method that adopts the Singular Value Decomposition (SVD) matrix reduction process is used to find the relevance between documents. With the LSI method helps us to be able to know the reviews are classified on positive sentiment or negative sentiment. The TF IDF method is used to process textual data into numerical data and cosine similiarity method is used to calculate the similiarity between data which is further classified into positive class sentiment and negative class sentiment. Testing done as much as 19 times by using different k-rank input. Based on the test result, this system produces an optimal accuracy on k-rank =10 that is equal to 86% so we can conclude that latent semantic indexing is good to use for searching relevance between documents.*

**Key Word :** Sentiment analysis, *Latent Semantic Indexing, Singular Value Decomposition.*

## DAFTAR ISI

PENGESAHAN .....	ii
PERNYATAAN ORISINALITAS .....	iii
KATA PENGANTAR.....	iv
ABSTRAK.....	v
ABSTRACT .....	vi
Daftar Isi .....	vii
DAFTAR TABEL.....	x
DAFTAR GAMBAR .....	xii
DAFTAR KODE PROGRAM .....	xiii
<b>BAB 1 PENDAHULUAN.....</b>	<b>1</b>
1.1 Latar belakang.....	1
1.2 Rumusan masalah .....	2
1.3 Tujuan.....	2
1.4 Manfaat .....	2
1.5 Batasan masalah .....	2
1.6 Sistematika pembahasan .....	3
<b>BAB 2 LANDASAN KEPUSTAKAAN .....</b>	<b>4</b>
2.1 Kajian Pustaka .....	4
2.2 Text Mining .....	5
2.2.1 <i>Case Folding</i> .....	5
2.2.2 Tokenisasi.....	5
2.2.3 <i>Filtering / Stopword Removal</i> .....	6
2.2.4 <i>Stemming</i> .....	6
2.3 <i>Term Frequency &amp; Inverse Document frequency (TF-IDF)</i> .....	6
2.4 Analisis Sentimen .....	6
2.5 <i>Latent Semantic Indexing</i> .....	7
2.6 <i>Singular Value Decomposition (SVD)</i> .....	7
2.7 <i>Vector Space Model (VSM)</i> .....	8
2.8 <i>Confusion Matrix</i> .....	8
<b>BAB 3 METODOLOGI .....</b>	<b>10</b>
3.1 Metodologi Penelitian.....	10



3.2 Pengumpulan Data.....	11
3.3 Peralatan Pendukung.....	11
3.4 Perancangan Sistem.....	11
3.4.1 Model Perancangan.....	12
3.5 Implementasi.....	12
3.6 Pengujian.....	13
3.7 Analisis.....	13
3.8 Kesimpulan.....	13
BAB 4 PERANCANGAN.....	14
4.1 Perancangan proses.....	14
4.2 Proses Pelatihan.....	14
4.2.1 Proses <i>Pre-Processing</i> .....	14
4.2.2 Proses SVD.....	20
4.3 Perhitungan manual.....	23
4.3.1 Perhitungan TF-IDF.....	23
4.3.2 Perhitungan pemecahan matriks SVD.....	26
4.3.3 Proses LSI.....	29
4.4 Pengujian manual.....	31
4.5 Perancangan Pengujian.....	33
4.6 Penarikan Simpulan.....	33
BAB 5 Implementasi DAN PENGUJIAN.....	34
5.1 Batasan Implementasi.....	34
5.2 implementasi Sistem.....	34
5.2.1 Kelas SVD.....	36
5.3 Pengujian Nilai <i>k-rank</i> .....	48
5.3.1 Hasil dan analisis <i>k-rank</i> .....	49
5.4 Pengujian <i>True Positive Rate</i> .....	50
5.4.1 Hasil dan Analisis <i>True Positive Rate</i> .....	51
5.5 Pengujian <i>True Negative Rate</i> .....	52
5.5.1 Hasil dan Analisis Pengujian <i>True Negative Rate</i> .....	53
BAB 6 Penutup.....	55
6.1 Kesimpulan.....	55
6.2 Saran.....	55





DAFTAR PUSTAKA..... 56  
LAMPIRAN ..... 58



## DAFTAR TABEL

Tabel 4.1 data awal sebelum diproses.....	23
Tabel 4.2 data ulasan yang telah melalui proses <i>stemming</i> .....	24
Tabel 4.3 Frekuensi Kemunculan Term Tiap Dokumen .....	24
Tabel 4.4 perhitungan nilai WTF dan IDF.....	24
Tabel 4.5 perhitungan nilai WTD sebelum dinormalisasi .....	25
Tabel 4.6 Perhitungan WTD setelah dinormalisasi .....	25
Tabel 4.7 Matriks $A^T$ .....	26
Tabel 4.8 Matriks $A^T.A$ .....	26
Tabel 4.9 Nilai <i>eigen</i> dan nilai <i>singular</i> .....	27
Tabel 4.10 Matriks $S$ .....	27
Tabel 4.11 Matriks $S^i$ .....	27
Tabel 4.12 Matriks $V$ .....	28
Tabel 4.13 Matriks $U$ .....	28
Tabel 4.14 Matriks $V^T$ .....	29
Tabel 4.15 Matriks $U$ dengan $k = 3$ .....	29
Tabel 4.16 Matriks $S^i$ dengan $k = 3$ .....	30
Tabel 4.17 Matriks $q^T$ .....	30
Tabel 4.18 Hasil Pembilang dari <i>cosine similarity</i> .....	30
Tabel 4.19 Hasil Penyebut dari <i>cosine similarity</i> .....	30
Tabel 4.20 Hasil similiaritas.....	31
Tabel 4.21 Sampel data pengujian.....	31
Tabel 4.22 Table nilai $TP$ , $FN$ , $TN$ dan $FP$ .....	32
Tabel 4.23 Tabel <i>Confusion Matrix</i> .....	33
Tabel 4.24 Tabel Hasil Pengujian manual .....	33
Tabel 5.1 Daftar Method.....	34
Tabel 5.2 Hasil Pengujian akurasi pada beberapa nilai $k$ -rank dari 3 data latih yang berbeda.....	48



Tabel 5.3 Hasil Pengujian *True Positive Rate* pada beberapa nilai *k-rank* dari 3 data latih yang berbeda ..... 50

Tabel 5.4 Hasil Pengujian *True Negative Rate* pada beberapa nilai *k-rank* dari 3 data latih yang berbeda ..... 52



## DAFTAR GAMBAR

Gambar 2.1 Ilustrasi Matriks SVD .....	8
Gambar 3.1 Diagram Metodologi Penelitian .....	10
Gambar 4.1 Diagram Alur <i>Pre-Processing</i> .....	15
Gambar 4.2 Diagram Alur Tokenisasi dan <i>Case Folding</i> .....	16
Gambar 4.3 Diagram Alur <i>Filtering</i> .....	17
Gambar 4.4 Diagram Alur <i>Stemming</i> .....	19
Gambar 4.5 Diagram Alur Proses SVD .....	20
Gambar 4.6 Diagram Alur LSI .....	21
Gambar 4.7 Diagram Alur <i>Cosine Similiarity</i> .....	23
Gambar 5.1 Grafik Akurasi pada beberapa nilai <i>k-rank</i> dari 3 data latih yang berbeda .....	50
Gambar 5.2 Grafik <i>true positive rate</i> pada beberapa nilai <i>k-rank</i> dari 3 data latih yang berbeda.....	52
Gambar 5.3 Grafik <i>true negative rate</i> pada beberapa nilai <i>k-rank</i> dari 3 data latih yang berbeda.....	54

## DAFTAR KODE PROGRAM

Kode Program 5.1 Impelementasi kode program utama perhitungan *SVD* dan *LSI*  
..... 47



# BAB 1

## PENDAHULUAN

### 1.1 Latar belakang

Internet saat ini berkembang dengan sangat pesat. Pemanfaatan internet juga sudah mencakup berbagai bidang seperti media sosial, media informasi, media riset, media bisnis, media entertainment, dan media lainnya. Media *social* seperti *facebook*, *Twitter* dan beberapa media sosial lainnya digunakan banyak orang untuk mengekspresikan pendapat mereka pada berbagai topik. Jutaan tweet yang berisikan pikiran, pernyataan, komentar, ulasan dan kritik di *post* setiap harinya. Salah satu contohnya adalah ulasan, banyak situs yang menyediakan ulasan tentang suatu produk, dari ulasan-ulasan tersebut pengguna lain dapat mengetahui tentang kelebihan ataupun kekurangan produk tersebut. Sebanyak 81% pengguna internet melakukan *online research* setidaknya satu kali pada produk yang akan mereka beli. Hal ini menunjukkan bahwa ulasan sangat berpengaruh pada pengambilan keputusan seseorang akan sebuah produk (Pang & Lee, 2008).

Analisis sentimen adalah proses mengekstrak pendapat, perilaku dan emosi dari sebuah dokumen teks untuk mendapatkan suatu informasi (Kristiyanti, 2015). Dokumen yang digunakan berupa ulasan yang selanjutnya akan dilakukan proses klasifikasi. Proses klasifikasi dilakukan untuk pemisahan apakah ulasan termasuk pada sentiment positif atau negatif (Medhat, Hassan, & Korashy, 2014). Dalam Kasus ini topik yang akan digunakan yaitu ulasan video animasi, sehingga pengguna lain dapat mengetahui apakah video animasi tersebut memiliki ulasan positif atau negatif.

Pada tahun 2017, penelitian tentang analisis sentiment *review* film dilakukan oleh Setyo Budi. Penelitian ini menggunakan algoritma *K-Means* dan *clustering* digunakan sebagai proses klasifikasi. Penelitian dilakukan dengan menguji data ke varian dataset yaitu 300 data positif dan 300 data negatif, 700 data positif dan 700 data negatif, 1000 data positif dan 1000 data negatif. Hasil akurasi dari pengujian di atas yaitu 57,83% untuk dataset dengan jumlah 300 data positif dan 300 data negatif, 56,71% untuk data et dengan jumlah 700 data positif dan 700 data negative, 50,40% untuk dataset dengan jumlah 1000 data positif dan 1000 data negatif. Dari hasil pengujian diatas dapat disimpulkan bahwa semakin besar dataset yang digunakan maka semakin rendah akurasi yang dihasilkan.

Pada tahun 2012 Sari, et al., melakukan penelitian tentang penentuan lirik lagu berdasarkan emosi. Metode yang digunakan adalah LSI (*Latent Semantic Indexing*). Hasil Penelitian didapat dari evaluasi MAP (*Mean Average Precision*) pada masing-masing k-rank 300,200,100,50 dan 10 dengan jumlah lirik lagu sebanyak 370 lirik menghasilkan nilai MAP mendekati 1. Dari penelitian tersebut

didapatkan kesimpulan bahwa semakin kecil input k-rank maka rata-rata akurasi sistem akan semakin baik.

Dari penelitian di atas *Latent Semantic Indexing* yang mengadopsi proses matematis reduksi dimensi *Singular Value Decomposition* (SVD) memungkinkan suatu data untuk di uji kemiripannya dengan sekumpulan data. Lalu menghasilkan nilai kedekatan antara data yang uji ke sekumpulan data tersebut. metode LSI cocok diimplementasikan pada analisis sentiment ulasan video animasi yang akan dibagi menjadi 2 kategori kelas, yaitu kelas positif dan kelas negatif. Dan melihat hasil dari penggunaan metode LSI berdasarkan ulasan video animasi.

## 1.2 Rumusan masalah

Berdasarkan latar belakang masalah yang telah dikemukakan sebelumnya, maka masalah yang dirumuskan adalah sebagai berikut :

1. Bagaimana melakukan analisis sentimen kalimat yang di dapat dari ulasan yang disampaikan *reviewer*?
2. Bagaimana tingkat akurasi metode *Latent Semantic Indexing* untuk analisis sentimen pada ulasan video animasi?

## 1.3 Tujuan

1. Menerapkan algoritma *Latent Semantic Indexing* sehingga mampu mengklasifikasi kata-kata yang mewakili isi dokumen ulasan.
2. Menguji tingkat akurasi sistem analisis sentiment pada ulasan video animasi yang menggunakan metode *Latent Semantic Indexing*.

## 1.4 Manfaat

Manfaat penelitian ini bagi penulis adalah untuk dapat menerapkan ilmu yang didapat selama mengikuti perkuliahan. Manfaat lain dari penelitian ini untuk penelitian selanjutnya yang memerlukan pakar dapat membuat sistem tanpa pakar dan juga agar dapat dilanjutkan untuk penelitian penelitian selanjutnya yang meneliti topik yang sama.

## 1.5 Batasan masalah

Agar pembahasan bisa lebih berfokus, maka sesuai dengan rumusan masalah batasan masalah yang perlu diberlakukan dalam skripsi ini adalah sebagai berikut:

1. Data yang digunakan yaitu data ulasan video animasi yang diambil dari web <http://www.myanimelist.net>
2. Data yang akan diolah adalah data berbahasa inggris.
3. Jenis data yang berupa teks diubah menjadi matriks melalui metode pemrosesan teks.

4. Data latih yang digunakan sebanyak 200 data latih dan 50 data uji yang akan di uji dalam berbagai variasi,
5. Kelas yang akan digolongkan dibagi menjadi dua jenis yaitu kelas positif dan kelas negatif.

## 1.6 Sistematika pembahasan

### **BAB I PENDAHULUAN**

Bab Pendahuluan mencakup Latar Belakang penelitian, rumusan masalah yang disertai dengan tujuan penelitian, batasan masalah dan manfaat dari analisis sentimen ulasan video animasi menggunakan metode *Latent Semantic Indexing*.

### **BAB II LANDASAN KEPUSTAKAAN**

Bab ini mendeskripsikan dasar teori dan penelitian-penelitian sebelumnya yang berhubungan dengan topic pada skripsi analisis sentimen ulasan video animasi menggunakan metode *Latent Semantic Indexing*.

### **BAB III METODOLOGI**

Bab Metodologi berisi tahapan-tahapan yang harus di buat, berisi langkah kerja untuk membangun sistem analisis sentimen ulasan video animasi menggunakan metode *Latent Semantic Indexing*.

### **BAB IV ANALISIS DAN PERANCANGAN**

Bab Perancangan berisi antarmuka dan segala sesuatu yang diperlukan dalam rancangan pada sistem analisis sentimen ulasan video animasi menggunakan metode *Latent Semantic Indexing*.

### **BAB V IMPLEMENTASI DAN PENGUJIAN**

Bab ini membahas tentang implementasi dari sistem analisis sentimen ulasan video animasi menggunakan metode *Latent Semantic Indexing* secara keseluruhan, serta melakukan pengujian terhadap system untuk mengetahui system tersebut dapat menyelesaikan permasalahan yang dihadapi sesuai yang diharapkan.

### **BAB VI KESIMPULAN DAN PENUTUP**

Bab ini memuat kesimpulan yang di dapat dari hasil sistem analisis sentimen ulasan video animasi menggunakan metode *Latent Semantic Indexing* dan saran saran untuk pengembangan selanjutnya.



## BAB 2

### LANDASAN KEPUSTAKAAN

#### 2.1 Kajian Pustaka

Pada tahun 2015 Kristiyanti melakukan penelitian tentang analisis sentiment *review* produk kosmetik. Penelitian ini menggunakan metode SVM (*Support Vector Machine*) untuk proses klasifikasi dan PSO (*Particle Swarm Optimization*) sebagai metode seleksi fitur. Pengujian dilakukan dengan menggunakan metode *Support Vector Machine* dan *Support Vector Machine* berbasis *Particle Swarm Optimization* dengan menggunakan data *review* produk kosmetik sebanyak 200 data. Dari hasil pengujian didapatkan bahwa nilai akurasi untuk pengujian menggunakan *Support Vector Machine* adalah 89%. Sedangkan untuk pengujian dengan menggunakan *Support Vector Machine* berbasis *Particle Swarm Optimization* mendapatkan nilai akurasi 97%. Dapat disimpulkan bahwa menggunakan *Support Vector Machine* berbasis *Particle Swarm Optimization* lebih baik dari pada *Support Vector Machine*.

Pada tahun 2017, penelitian tentang analisis sentiment *review* film dilakukan oleh Setyo Budi. Penelitian ini menggunakan algoritma *K-Means* dan *clustering* digunakan sebagai proses klasifikasi. Penelitian dilakukan dengan menguji data ke varian dataset yaitu 300 data positif dan 300 data negatif, 700 data positif dan 700 data negatif, 1000 data positif dan 1000 data negatif. Hasil akurasi dari pengujian di atas yaitu 57,83% untuk dataset dengan jumlah 300 data positif dan 300 data negatif, 56,71% untuk data et dengan jumlah 700 data positif dan 700 data negative, 50,40% untuk dataset dengan jumlah 1000 data positif dan 1000 data negatif. Dari hasil pengujian diatas dapat disimpulkan bahwa semakin besar dataset yang digunakan maka semakin rendah akurasi yang dihasilkan.

Pada tahun 2015 Kristiyanti melakukan penelitian tentang analisis sentiment *review* produk kosmetik. Metode yang digunakan adalah *Support Vector Machine* dan menggunakan seleksi fitur dengan metode *Particle Swarm Optimization*. Penelitian dilakukan dengan membandingkan hasil pengujian antara penggunaan metode *support vector machine* dengan penggunaan metode *vector machine* yang telah dilakukan seleksi fitur menggunakan metode *particle swarm optimization*. Dari hasil pengujian didapatkan akurasi 89,00% untuk penggunaan metode *support vector machine*. Untuk pengujian dengan menggunakan seleksi fitur didapatkan akurasi 97,00%, dapat disimpulkan bahwa terjadi peningkatan yang cukup signifikan pada pengujian menggunakan seleksi fitur, dengan demikian penggunaan seleksi fitur *particle swarm optimization* memberikan pemecahan untuk permasalahan klasifikasi *review* produk kosmetik menjadi lebih akurat.

Pada tahun 2012 Sari dan Ridok melakukan penelitian tentang penentuan lirik lagu berdasarkan emosi. Metode yang digunakan adalah *Latent Semantic Indexing*. Hasil Penelitian didapat dari evaluasi MAP (*Mean Average Precision*) pada masing-masing k-rank 300,200,100,50 dan 10 dengan jumlah lirik lagu sebanyak 370 lirik menghasilkan nilai MAP mendekati 1. Dari penelitian tersebut didapatkan kesimpulan bahwa semakin kecil input k-rank maka rata-rata akurasi sistem akan semakin baik.

Pada tahun 2013 Sari dan Puspaningrum melakukan penelitian mengenai pencarian informasi dengan mengurangi dimensi pencarian menggunakan reduksi fitur. Metode yang digunakan adalah *Essential Dimension of Latent Semantic Indexing* dan reduksi fitur menggunakan *Document Frequency thresholding* dan *Information Gain*. Penelitian ini dilakukan 2 kali pengujian dengan jumlah data yang berbeda yaitu 90 data dan 120 data. Dari hasil pengujian di dapatkan nilai MAP (*Mean Average Precision*) optimal ketika *threshold* 0,9, k-rank = 2, dan  $x = 0,7$ .

## 2.2 Text Mining

*Text Mining* dapat didefinisikan sebagai penerapan teknik data mining untuk penemuan otomatis pada informasi yang berguna atau menarik dari teks yang tidak terstruktur. Teks mining digunakan untuk mengekstrak informasi yang berguna dari data yang tak terstruktur tersebut. Beberapa pengembangan *teks mining* telah dilakukan, termasuk struktur konseptual, pohon keputusan dan metode induksi aturan. Selain itu *Information Retrieval* (IR) telah banyak digunakan sebagai model untuk tugas seperti pencocokan dokumen, rangking dan klasterisasi. (Ipmawati, 2017). Terdapat beberapa proses dalam melakukan pemrosesan teks yakni *case folding*, *tokenisasi*, *filtering*, dan *stemming*.

### 2.2.1 Case Folding

Proses *Casefolding* memisahkan setiap kata dari sekumpulan teks, dan mengubah semua huruf menjadi huruf kecil dan membuang karakter selain huruf, seperti angka dan tanda baca. Hasil dari proses *Case Folding* adalah kata-kata yang sudah terpisah dan tidak memiliki karakter selain huruf (Vijayarani., et al, 2015).

### 2.2.2 Tokenisasi

Tokenisasi merupakan proses pemecahan dari sekumpulan teks yang besar menjadi beberapa bagian. Beberapa bagian tersebut dapat disebut kalimat, kalimat yang dihasilkan kemudian di pisah menjadi kata-kata (Vijayarani., et al, 2015).

### 2.2.3 Filtering / Stopword Removal

Sebuah proses untuk menghilangkan kata yang tidak penting dari hasil Tokenisasi. Untuk menghilangkan kata yang tidak penting digunakan stopwords yang nantinya setiap kata dari hasil casefolding di periksa dengan stopwords. Apabila kata dari hasil casefolding terdapat pada daftar stopwords maka kata tersebut di hilangkan (Vijayarani., et al, 2015).

### 2.2.4 Stemming

*Stemming* merupakan suatu proses untuk merubah kata dari hasil filtering menjadi kata dasar dengan cara menghilangkan semua imbuhan, imbuhan yang harus di hilangkan adalah awalan, akhiran, sisipan. Kombinasi awalan dan akhiran pada kata turunan pun juga harus dihilangkan. *Stemming* digunakan untuk memangkas kata dari bentuk asli yang masih terdapat awalan, akhiran atau sisipan menjadi suatu kata dasar (Yamout, 2004).

## 2.3 Term Frequency & Inverse Document frequency (TF-IDF)

Metode TF-IDF merupakan metode *text mining* yang digunakan untuk mengekstraksi kata-kata yang bermakna dari sebuah dokumen. Untuk mengetahui makna sebuah dokumen, dilakukan dengan memberikan bobot pada setiap kata (*term*). Metode ini akan menghitung nilai *Term Frequency (TF)* dan *Inverse Document Frequency (IDF)* pada setiap *term* di setiap dokumen.

Dalam perhitungan bobot menggunakan TF-IDF, dihitung terlebih dahulu nilai *Term Frequency (TF)*. *TF* yaitu banyaknya kemunculan sebuah *term* dalam suatu dokumen. Selanjutnya menghitung nilai *Inverse Document Frequency (IDF)*. *IDF* adalah perhitungan yang digunakan untuk mengecek berapa banyak dokumen yang memiliki hubungan antara sebuah *term* dalam semua dokumen. Untuk menghitung nilai *IDF* digunakan Persamaan 2.1

$$IDF(\text{word}) = \log \frac{td}{df} \quad (2.1)$$

$IDF(\text{word})$  adalah nilai *IDF* dari setiap kata yang akan dicari,  $td$  adalah jumlah keseluruhan dokumen yang ada,  $df$  adalah jumlah dokumen yang memiliki kata yang akan dicari. (Oh, 2013).

## 2.4 Analisis Sentimen

Analisis sentimen adalah bidang yang mengevaluasi emosi dan perasaan dalam sebuah teks. proses memahami, mengekstrak dan mengolah data tekstual secara otomatis untuk memperoleh informasi. Analisis sentiment dalam skripsi ini adalah proses klasifikasi dokumen ke dalam dua kelas, yaitu kelas positif dan negatif. Pada dasarnya analisis sentimen merupakan klasifikasi, tetapi karena tidak adanya intonasi dalam sebuah teks menyebabkan penggunaan kata menjadi ambigu sehingga membuat proses klasifikasi tidak semudah proses klasifikasi yang ada (Liu, 2012).

Manfaat analisis sentimen salah satunya yaitu untuk mengetahui survei mengenai produk, organisasi dan lain-lain. Proses analisis sentiment pada penelitian untuk mengetahui sentimen terhadap suatu video animasi yang di dapatkan dari ulasan ulasan yang diberikan oleh pengguna. Proses di atas dilakukan dengan metode *Latent Sematic Indexing* dan dikhususkan pada dokumen berbahasa inggris pada sebuah situs *web* (Liu, 2012).

## 2.5 Latent Semantic Indexing

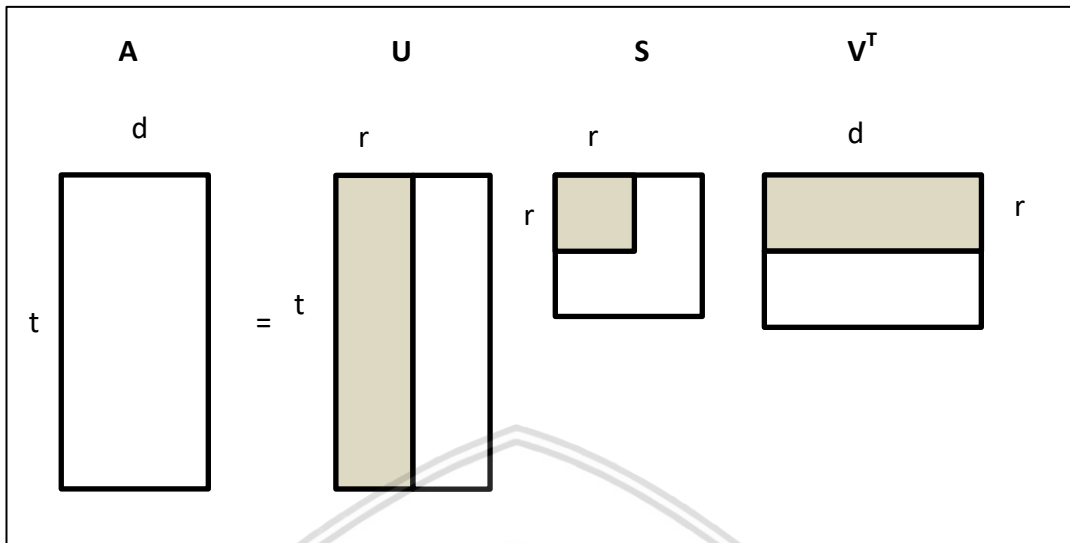
*Latent Semantic Indexing* merupakan salah satu metode klasifikasi dengan menggunakan metode *machine learning (supervised learning)* yang memprediksi kelas berdasarkan pola dari hasil proses training yang diciptakan oleh Vladimir Vapnik. Klasifikasi dilakukan dengan garis pembatas (*hyperlane*) yang memisahkan antara kelas opini positif dan opini negatif. Secara intuitif, suatu garis pembatas yang baik adalah memiliki jarak terbesar ke titik data pelatihan terdekat dari setiap kelas Karena pada umumnya semakin besar margin, semakin redah *error* generalisasi dari pemilah. Margin adalah jarak dari suatu titik vector di suatu kelas terhadap *hyperplane*. Representasi dari LSI adalah

$$q' = q^T \cdot U_k \cdot S_k^{-1} \quad (2.2)$$

Dimana variabel  $q'$  adalah *query vector* dari LSI,  $q^T$  adalah *transpose* dari pembobotan TF-IDF ternormalisasi,  $U_k$  adalah reduksi dimensi  $k$  dari matriks  $U$ , dan  $S_k^{-1}$  adalah *inverse* dari reduksi dimensi  $k$  matriks  $S$  (Sari, 2012).

## 2.6 Singular Value Decomposition (SVD)

*Singular Value Decomposition* adalah metode yang memecah matriks  $A$  yaitu sebuah matriks (*terms-dokumen*) yang memiliki dimensi  $(t \times d)$  yang akan dikomposisi menjadi tiga buah matriks  $USV$ . Matriks  $U$  adalah matriks kata terms berukuran  $(t \times r)$ , Matriks  $S$  adalah matriks diagonal berisi nilai scalar (*Eigen Values*) berdimensi  $(r \times r)$ , dan  $V$  adalah matriks yang berukuran  $(r \times d)$ . Dekomposisi matriks  $A$  menjadi tiga buah matriks dinyatakan sebagai  $A = USV^T$ .



Gambar 2.1 Ilustrasi Matriks SVD

SVD digunakan untuk mereduksi dimensi matriks  $A$  dengan cara mengurangi panjang dimensi  $r$  dari matriks diagonal  $S$ . Pengurangan dimensi matriks  $S$  dilakukan dengan mengubah nilai diagonal matriks  $S$  menjadi nol kecuali untuk nilai diagonal dari dimensi yang tersisa. Pengalihan ketiga matriks  $USV^T$  akan membentuk matriks  $A$  awal dengan setiap elemennya mendekati nilai sebenarnya (Sari, 2012).

### 2.7 Vector Space Model (VSM)

*Vector Space Model* adalah cara konvensional yang biasa digunakan pada proses temu kembali informasi dengan menghitung kemiripan dua buah vector, yaitu vector dari data uji dan vector dari data latih. penghitungan kemiripan antara dua buah vektor tersebut menggunakan rumus *cosine similarity* (Sari, 2012).

$$similarity = \cos(\theta) = \frac{\sum q_i d_i}{\|q\| \|d\|} = \frac{\sum_{i=1}^n q_i x_i d_i}{\sqrt{\sum_{i=1}^n q_i^2} \times \sqrt{\sum_{i=1}^n d_i^2}} \quad (2.3)$$

Dimana nilai  $q$  adalah nilai dari hasil perhitungan *LSI*.  $d$  merupakan nilai matriks  $V$  dari dekomposisi SVD. dimana nilai dimensi dari matriks  $V$  merupakan hasil input  $k$  yang merupakan nilai reduksi dengan  $k \leq \min(m \times n)$ , dimana  $m$  adalah banyaknya *term* dan  $n$  adalah banyaknya dokumen (Sari, 2012).

### 2.8 Confusion Matrix

*Confusion Matrix* adalah sebuah sistem yang mengandung informasi tentang klasifikasi secara akurat dan prediktif. Kinerja suatu sistem dievaluasi

menggunakan data matriks (Santra, 2012). Table berikut memperlihatkan *Confusion Matrix* yang diklasifikasikan untuk 2 kelas.

**Tabel 2.1 Confusion Matrix**

	Predicted : No	Predicted : Yes
Actual : No	TN	FP
Actual : Yes	FN	TP

Berikut pengertian dari table di atas:

1. TN adalah nilai benar dari prediksi dengan hasil negatif.
2. FP adalah nilai salah dari prediksi dengan hasil positif.
3. FN adalah nilai salah dari prediksi dengan hasil negatif.
4. TP adalah nilai benar dari prediksi dengan hasil positif.

Beberapa term standar telah didefinisikan untuk menghitung akurasi, *True Positive Rate* dan *True Negative Rate*. Akurasi digunakan untuk menghitung nilai prediksi yang benar. *True Positive Rate* digunakan untuk menghitung nilai prediksi positif yang benar. *True Negative Rate* digunakan untuk menghitung nilai prediksi negative yang benar (Santra, 2012). Proses perhitungan menggunakan persamaan berikut.

1. Menghitung akurasi sesuai persamaan 2.1.

$$AC = \frac{TN+TP}{TN+FP+FN+TP} \tag{2.4}$$

2. Menghitung *True Positive Rate* sesuai persamaan 2.2.

$$TPR = \frac{TP}{FN+TP} \tag{2.5}$$

3. Menghitung *True Negative Rate* sesuai persamaan 2.3.

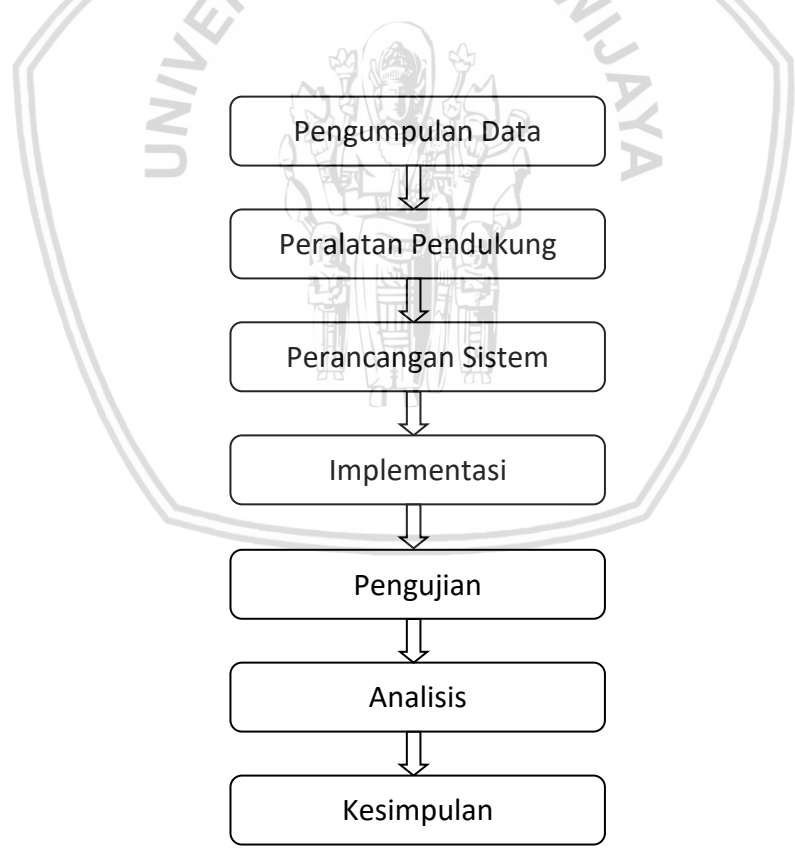
$$TNR = \frac{TN}{TN+FP} \tag{2.6}$$

## BAB 3 METODOLOGI

Bab metodologi menguraikan langkah-langkah yang ditempuh dalam proses penerapan algoritme *Latent Semantic Indexing* (LSI) yang dipakai dalam penelitian. Metodologi penelitian menjelaskan mengenai penerapan metode-metode yang akan digunakan serta rancangan dari proses penerapan algoritme yang digunakan.

### 3.1 Metodologi Penelitian

Subbab ini menguraikan proses yang akan dilakukan dalam penelitian. pengerjaan sistem analisis sentiment ulasan video animasi menggunakan metode *Latent Semantic Indexing* ini dilakukan dengan beberapa tahap, yakni Pengumpulan Data, Peralatan Pendukung, Perancangan Sistem, Implementasi, Pengujian, Analisis dan Kesimpulan.



**Gambar 3.1 Diagram Metodologi Penelitian**

### 3.2 Pengumpulan Data

Penelitian ini dilakukan menggunakan data yang diambil adalah data ulasan dari *website myanimelist.com* yang terdiri dari 250 dataset, 50 dataset sebagai data uji yang terdiri dari 25 ulasan positif dan 25 ulasan negatif, 200 dataset sebagai data latih yang terdiri dari 100 ulasan positif dan 100 ulasan negatif. dataset berisi kalimat ulasan seseorang dari *website myanimelist.com* sehingga diperlukan proses *preprocessing* terlebih dahulu menggunakan pemrosesan teks. Setelah proses *preprocessing* barulah bias dilanjutkan untuk di analisis sentiment dari tiap data yang diambil menggunakan metode *Latent Semantic Indexing*.

### 3.3 Peralatan Pendukung

Peralatan Pendukung pada penelitian ini dilakukan untuk menentukan pendukung kebutuhan yang nantinya akan digunakan dalam pembuatan sistem analisis sentimen ulasan video animasi menggunakan metode *Latent Semantic Indexing*. Peralatan pendukung pada sistem ini adalah:

1. Kebutuhan perangkat keras dengan spesifikasi minimal:
  - a. Intel Core i3 generasi 4 atau di atasnya
  - b. RAM 2 GB
  - c. Ruang pada harddisk yang kosong minimal 200 MB
  - d. Monitor
  - e. Keyboard
  - f. Mouse
2. Kebutuhan perangkat lunak:
  - a. Sistem operasi Windows 10
  - b. Java Development Kit
  - c. Netbeans IDE

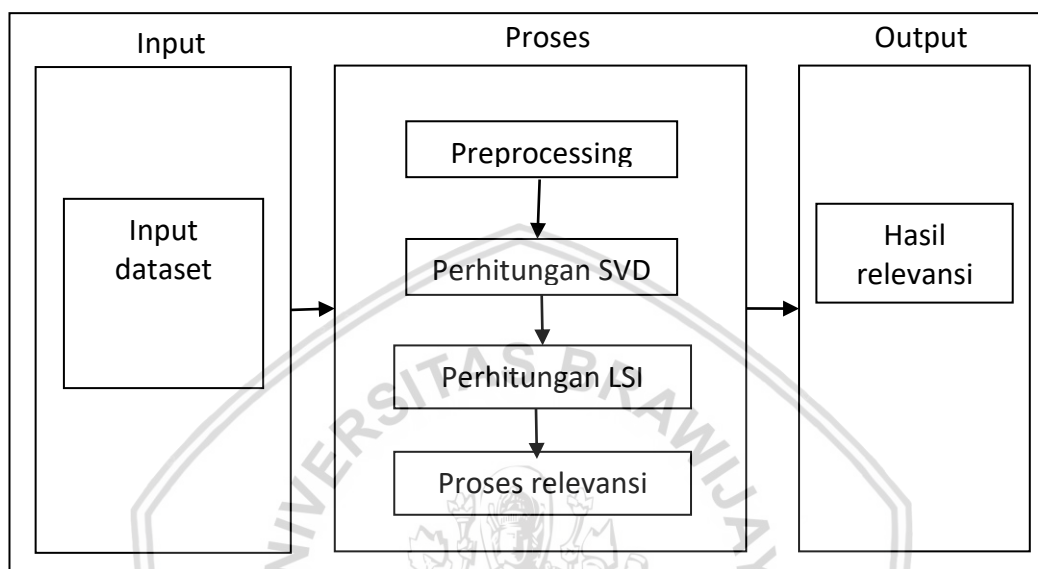
### 3.4 Perancangan Sistem

Perancangan sistem bertujuan untuk memudahkan ketika dilakukan proses implementasi dan pengujian. Perancangan sistem menghasilkan rancangan tentang langkah kerja dari sistem yang dari proses awal sampai akhir sesuai dengan arsitektur sistem. Perancangan yang dihasilkan berupa model Perancangan dan arsitektur dari sistem *Latent Semantic Indexing*.



### 3.4.1 Model Perancangan

Model perancangan sistem yang menjelaskan cara kerja sistem secara terstruktur. Model ini memperlihatkan proses dari awal yang berupa masukan data sampai proses akhir yang berupa keluaran hasil relevansi. Dapat dilihat pada Gambar 3.2.



Gambar 3.2 Diagram Model Perancangan

User memasukkan data ulasan video animasi ke dalam sistem selanjutnya data yang dimasukkan akan diproses oleh sistem. Melalui proses *pre-processing*, *Perhitungan SVD*, *Perhitungan LSI*, dan *proses relevansi* menggunakan metode *cosine similarity* lalu hasil relevansi yang dapat dicek untuk digolongkan ke kelas positif atau kelas negatif.

### 3.5 Implementasi

Implementasi adalah tahapan pembangunan sistem, pada tahap implementasi semua hal yang telah di rancang akan diimplementasikan sesuai dengan perancangan tersebut. Berikut tahapan-tahapan implementasi dari sistem yang akan dibuat.

1. Implementasi antarmuka pengguna.
2. Implementasi basis data untuk proses pengolahan dan penyimpanan data.
3. Implementasi program dengan metode *Latent Semantic Indexing* menggunakan bahasa pemrograman JAVA.
4. Hasil sistem ini akan menghasilkan analisis sentiment ulasan yang digolongkan ke ulasan positif atau ulasan negatif.

### 3.6 Pengujian

Pengujian dilakukan untuk melihat apakah sistem yang dibuat sudah berjalan sesuai dengan diinginkan. Pengujian dilakukan dalam 2 tahapan:

1. Pengujian pertama yaitu pengujian *true positive rate* , *true negative rate* dan akurasi.
2. Pengujian kedua yaitu pengujian nilai *k-rank* yang bertujuan untuk mengetahui nilai *k-rank* yang menghasilkan akurasi paling optimal.

Impelementasi sistem ini akan menghasilkan analisis sentimen ulasan yang digolongkan ke ulasan positif atau ulasan negatif.

### 3.7 Analisis

Tahapan analisis pada penelitian ini yaitu hasil dari keluaran sistem yang telah di uji hasil akurasi, *true positive rate* dan *true negative rate*. Dibandingkan antara hasil uji tersebut dengan beberapa percobaan nilai *k-rank*. Kemudian di ambil kesimpulan dari hasil analisis tersebut.

### 3.8 Kesimpulan

Kesimpulan didapatkan setelah semua tahapan selesai, tahapan yang harus dilalui dimulai dari tahapan perancangan, implementasi, dan pengujian. kemudian didapatkan hasil analisis dari sistem yang dibuat dan dari hasil analisis tersebut di buat kesimpulan. Dari kesimpulan yang didapat di berikan saran untuk pengembangan kedepannya. Saran bertujuan agar kesalahan yang terjadi pada penilitian ini dapat diperbaiki dan agar penelitian ini dapat dikembangkan menjadi lebih baik.

## BAB 4 PERANCANGAN

### 4.1 Perancangan proses

Pada perancangan menjelaskan tahapan yang harus dilalui sesuai dengan rancangan sistem. Proses ini dimulai dari *preprocessing* yang terdiri dari *case folding*, *tokenisasi*, *filtering*, dan proses *stemming*. Setelah didapat hasil stemming kata-kata tersebut kemudian di proses untuk diubah menjadi suatu nilai numeric menggunakan metode TF-IDF. Dan dilanjutkan proses utama yaitu proses LSI untuk menghitung nilai *query* yang akan dihitung untuk di cari relevansi antar dokumennya menggunakan *cosine similiarity*. Untuk menghitung nilai *query* pada proses LSI dibutuh nilai dari Matriks  $U$  dan matriks  $S$  yang didapat dari proses SVD. setelah mendapat nilai *query*, *query* tersebut dihitung pada proses *cosine similiarity* yang akan menghasilkan relevansi dokumen, dokumen tersebut nantinya akan digolongkan ke dokumen kelas positif atau dokumen kelas negatif.

### 4.2 Proses Pelatihan

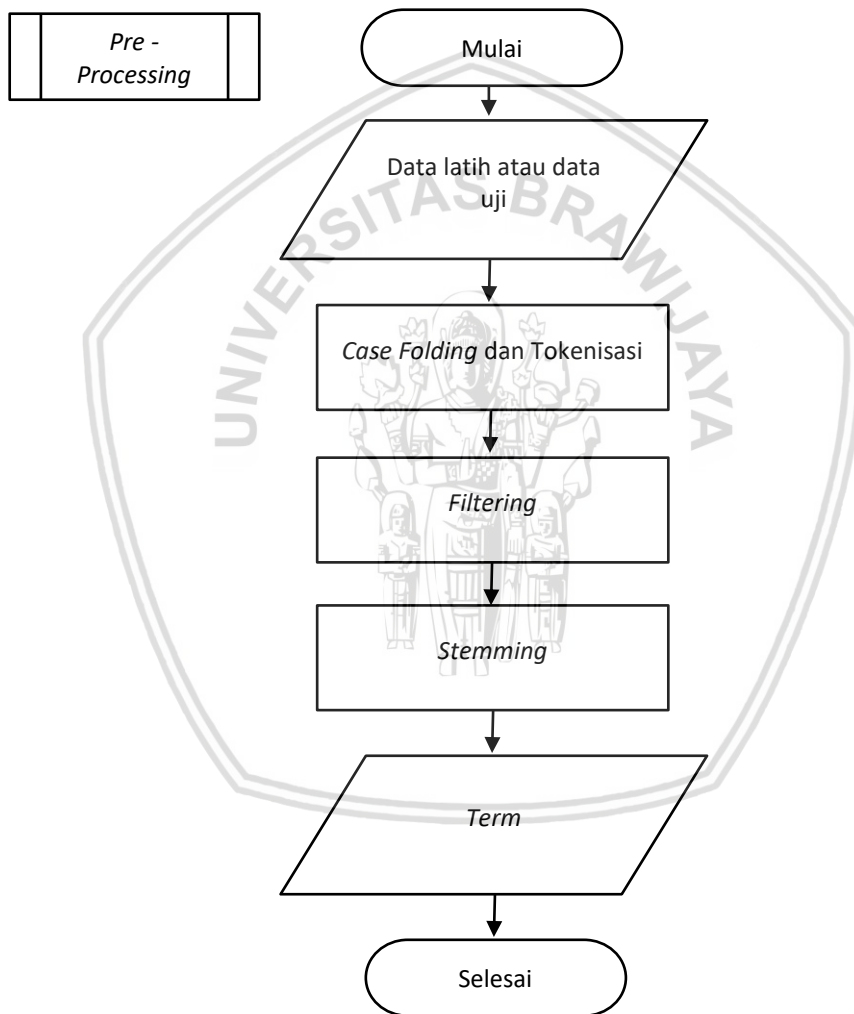
Pada proses pelatihan yaitu dilakukan pelatihan data yang nantinya digunakan untuk relevansi berdasarkan kecocokan antar dokumen. Proses pelatihan dilakukan menggunakan data latih berjumlah 100 data. Proses pelatihan akan digunakan sebagai perbandingan relevansi dokumen yang akan di bandingkan oleh data uji. Setelah dibandingkan dan dicocokkan antar dokumen lalu hasil tersebut di uji untuk mencari nilai akurasi dari sistem yang dibuat.

#### 4.2.1 Proses Pre-Processing

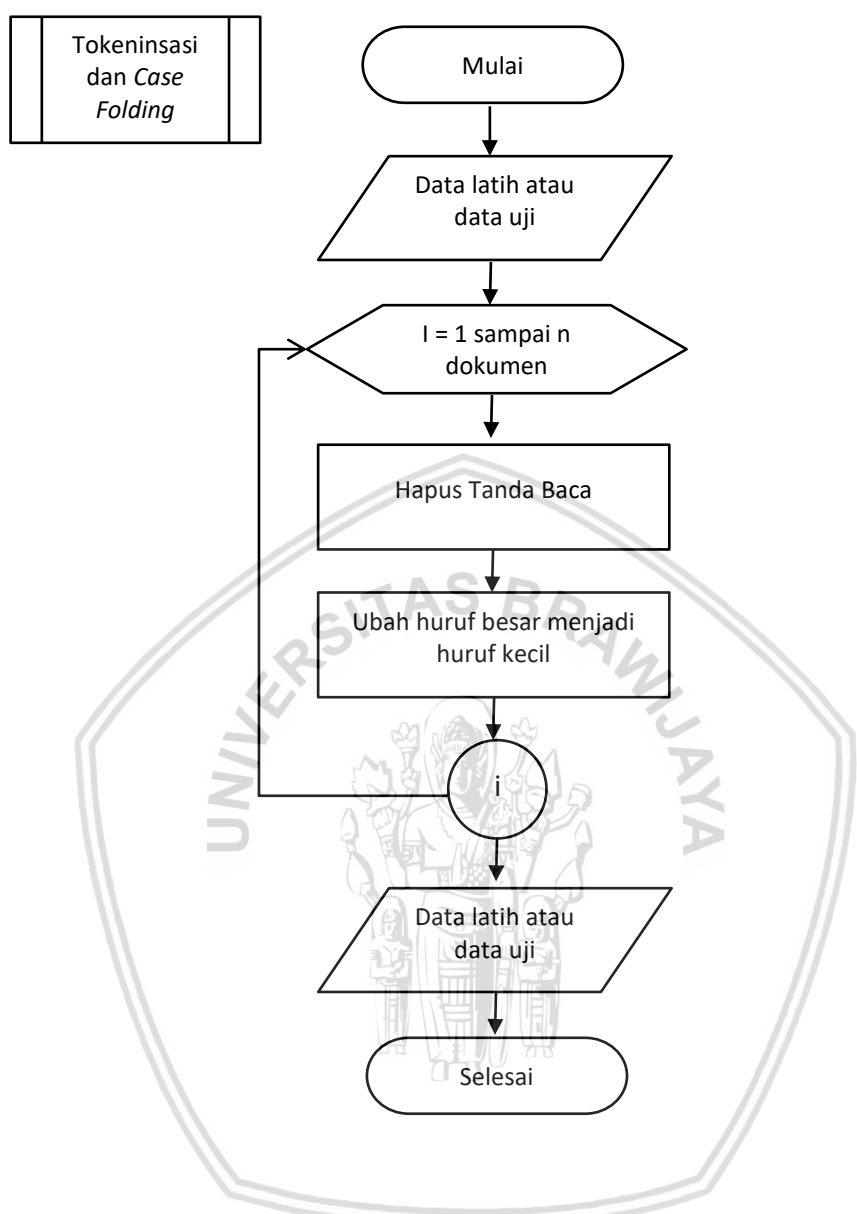
Pada proses ini data awal yang berupa teks diubah menjadi angka. *Pre-processing* diproses menggunakan metode *text mining* dimana dilakukan pengolahan teks yang membuat teks menjadi lebih terstruktur dimulai dengan proses *case folding* yang digunakan untuk mengubah huruf besar menjadi huruf kecil, untuk penjelasan lebih lengkap dapat dilihat pada Bab 2, lalu dilanjutkan dengan proses *tokenisasi* yang digunakan untuk menghilangkan tanda baca, untuk penjelasan lebih lengkap dapat dilihat pada Bab 2, selanjutnya *filtering* yaitu proses untuk membuang kata yang tidak relevan, penjelasan lebih lengkap data dilihat pada Bab 2 dan terakhir proses *stemming* yang merubah kata menjadi kata dasar dengan menghilangkan awalan kata, akhiran dan sisipan kata, untuk penjelasan lebih lengkap dapat di lihat pada Bab 2. Diagram alur *Pre-Processing* dapat dilihat pada Gambar 4.1.

#### 4.2.1.1 Proses Tokenisasi dan Case Folding

Tokenisasi merupakan proses untuk memcah teks bebas yang besar menjadi bagian-bagian yang disebut kalimat. Dari proses tokenisasi dilanjutkan dengan Proses *casefolding* yaitu memotong setiap kata dari bagian-bagian kalimat yang didapat dari proses sebelumnya yaitu pada proses pada *tokenisasi*. Selanjutnya mengubah semua huruf dalam dokumen menjadi huruf kecil dan menghilangkan karakter selain huruf. Alur proses dari tokenisasi dan *case folding* dapat dilihat pada Gambar 4.2.



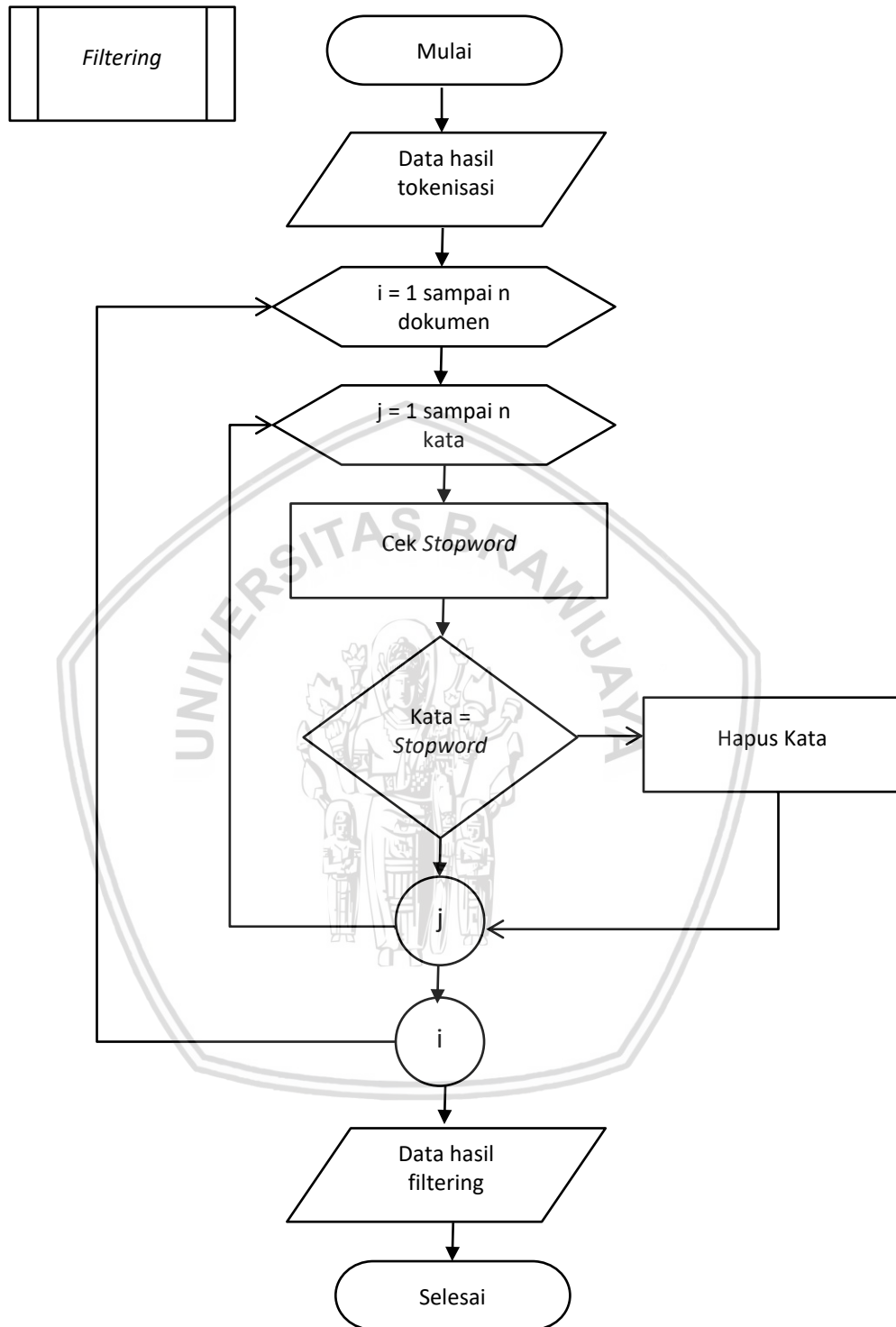
Gambar 4.1 Diagram Alur Pre-Processing



Gambar 4.2 Diagram Alur Tokenisasi dan Case Folding

**4.2.1.2 Proses Filtering**

Filtering adalah proses untuk menghilangkan kata-kata yang dianggap tidak perlu atau tidak penting. Pada tahap ini kata yang dianggap tidak diperlukan akan dihilangkan dengan cara mengecek kata tersebut dengan sebuah *stopword list*. Apabila pada dokumen yang diproses terdapat kata yang juga terdapat pada kata dalam *stopword list* maka kata tersebut akan dihilangkan. Alur proses *filtering* ditunjukkan oleh Gambar 4.4.

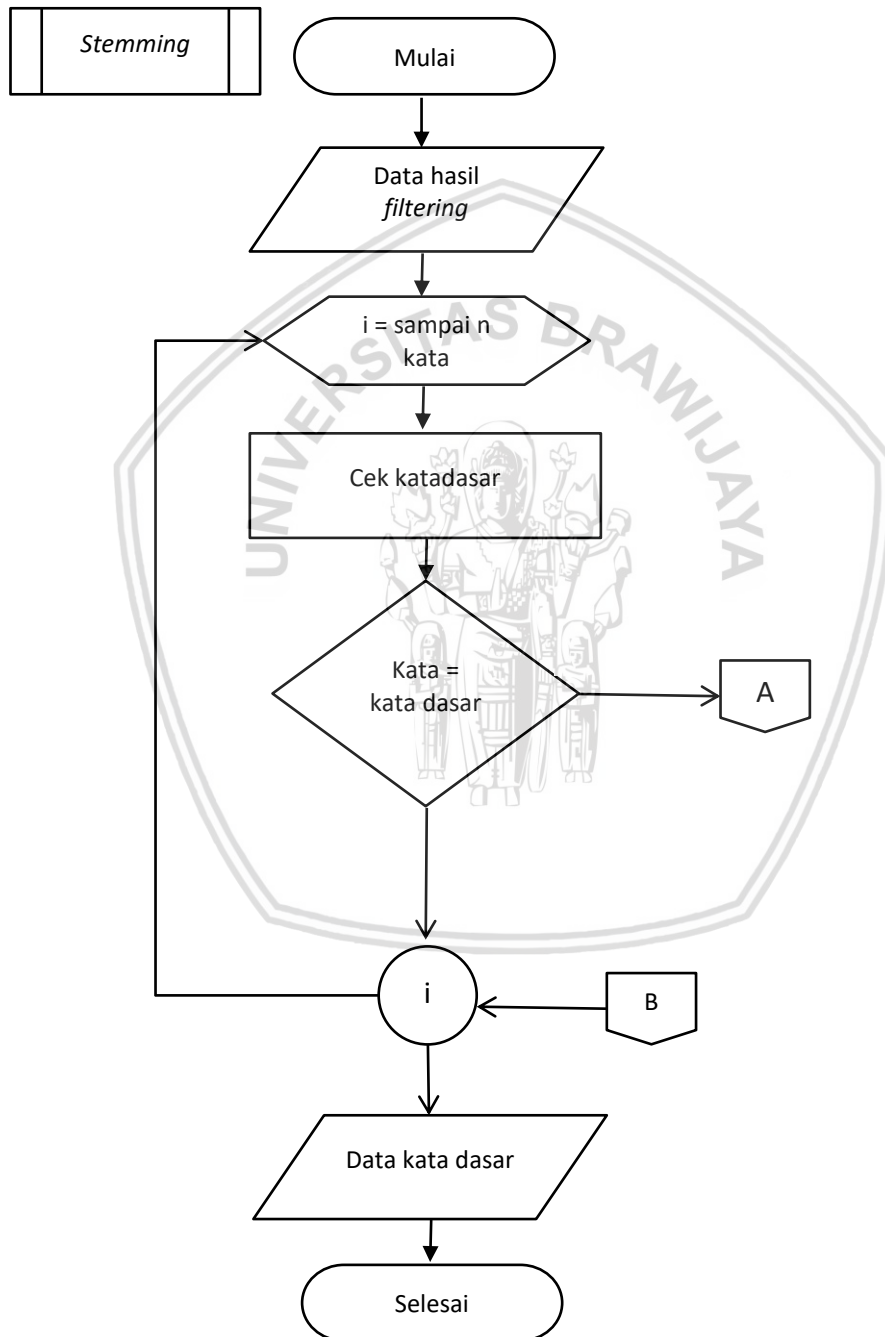


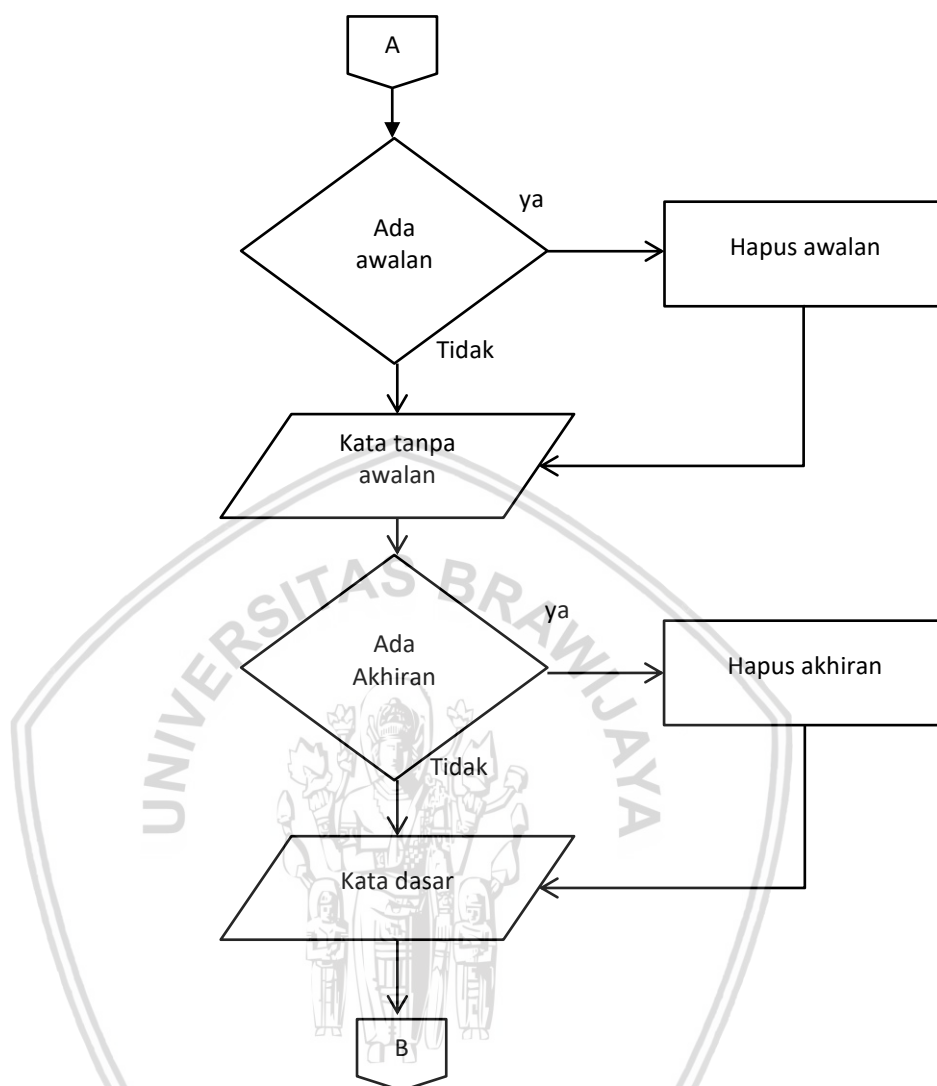
Gambar 4.3 Diagram Alur *Filtering*



### 4.2.1.3 Proses Stemming

*Stemming* adalah proses mengubah kata mejadi kata dasar. Pada proses ini setelah data diproses melalui *filtering* yang telah menjadi huruf kecil selanjutnya akan dilakukan proses *stemming* yaitu proses menghapus suatu imbuhan dari kata baik itu awalan maupun akhiran. Algoritma *stemming* yang digunakan adalah Porter *stemmer*. Alur proses dapat dilihat pada Gambar 4.4.





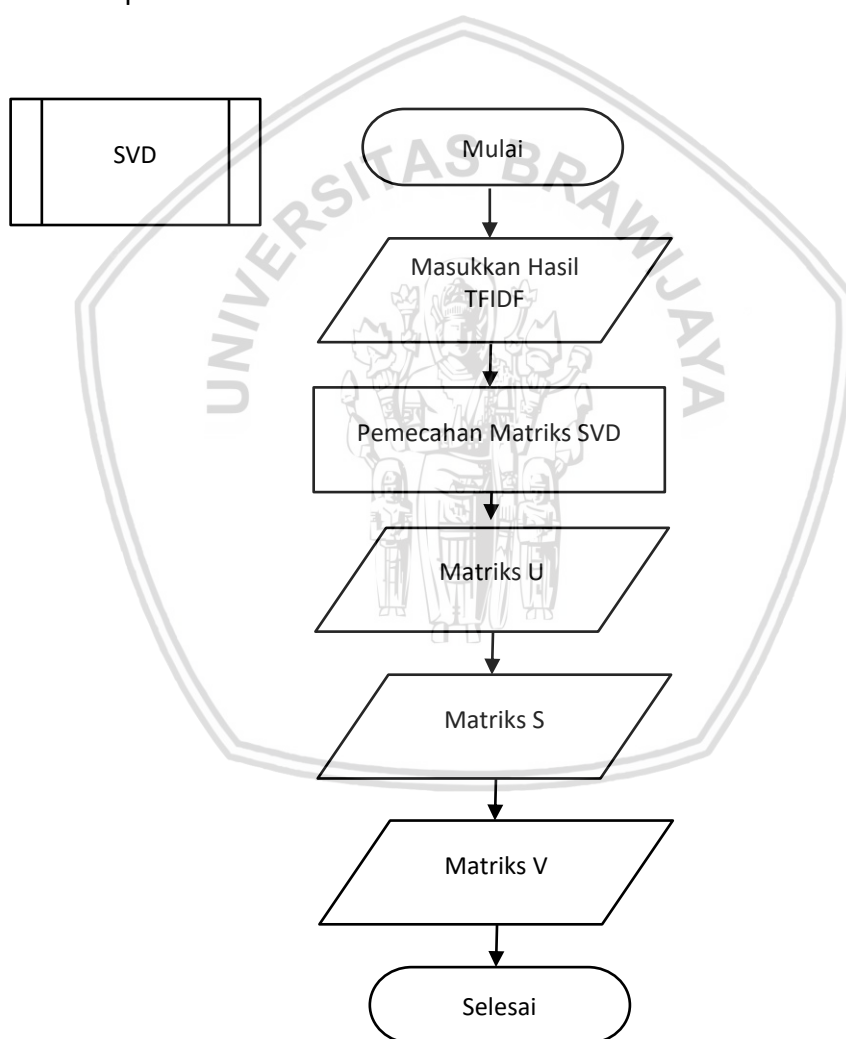
Gambar 4.4 Diagram Alur Stemming

Alur proses *stemming* dimulai dari data hasil *filtering* yang sudah dipisah tiap kata, dihilangkan tanda baca, di ubah menjadi huruf kecil dan telah di hilangkan kata kata yang tidak penting ini digunakan sebagai masukan untuk selanjutnya diproses dengan tujuan untuk membuat kata tersebut menjadi kata dasar. Proses pertama yaitu memeriksa kata dasar apakah kata yang didapat dari masukan sudah termasuk kata dasar, jika belum maka akan dilanjutkan proses untuk memeriksa awalan jika ada awalan maka awalan tersebut dihapus. Proses selanjutnya yaitu memeriksa akhiran jika ada akhiran maka akhiran tersebut dihapus. Setelah awal dan akhir dihapus jadilah kata dasar yang nantinya akan digunakan untuk pembobotan *TF-IDF*.



### 4.2.2 Proses SVD

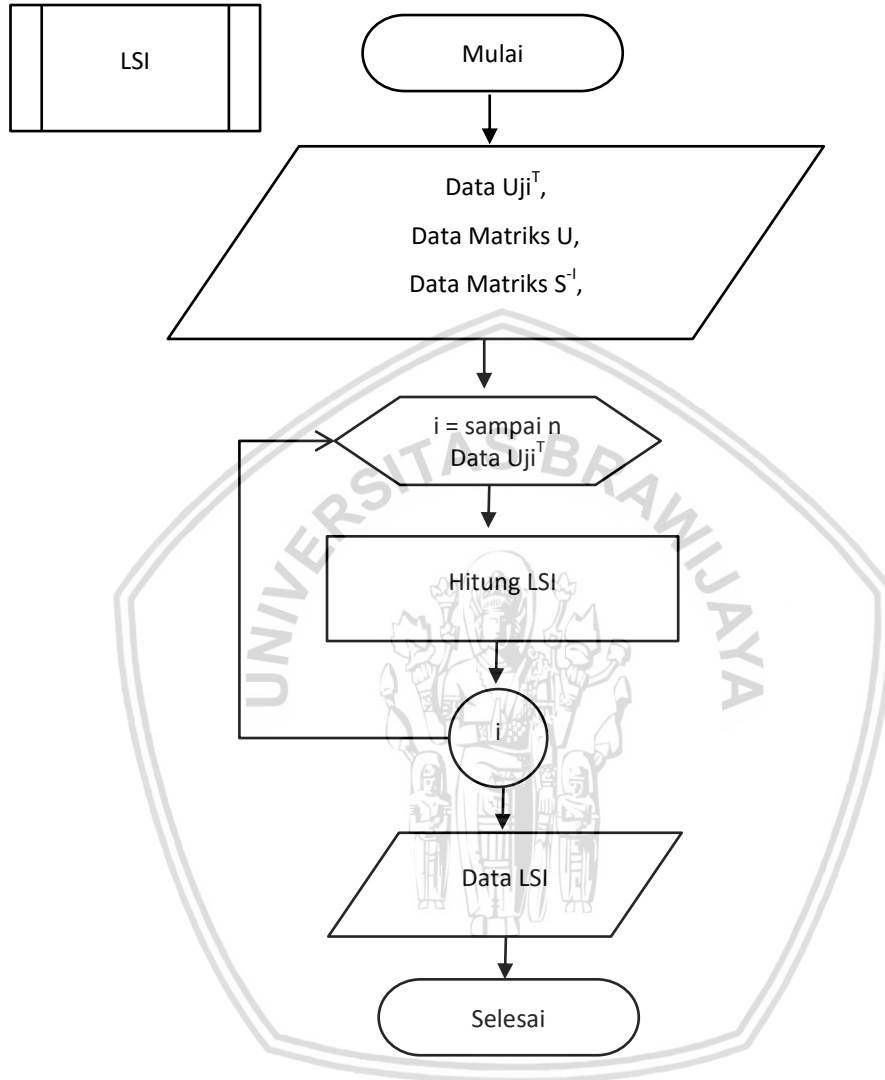
Proses SVD adalah proses pemecahan matriks hasil normalisasi menjadi 3 buah matriks yaitu matriks USV. 3 buah matriks tersebut akan digunakan untuk proses selanjutnya yaitu pada proses *Latent Semantic Indexing* dan *Cosine similarity*. Pada proses LSI matriks yang digunakan adalah matriks  $U$  dan matriks  $S$  yang sudah diinversekan. Kedua matriks tersebut akan digunakan untuk menghitung *query* input yang berada pada proses LSI dengan cara *query* input dikalikan dengan nilai hasil kali dari matriks  $U$  dan matriks  $S$  inverse. Sedangkan untuk matriks  $V$  akan digunakan pada proses *Cosine similarity* dengan cara menalikan nilai *query* hasil dari proses LSI ke matriks  $V$ . Diagram alur proses SVD dapat dilihat pada Gambar 4.5



Gambar 4.5 Diagram Alur Proses SVD

**4.2.2.1 Proses LSI**

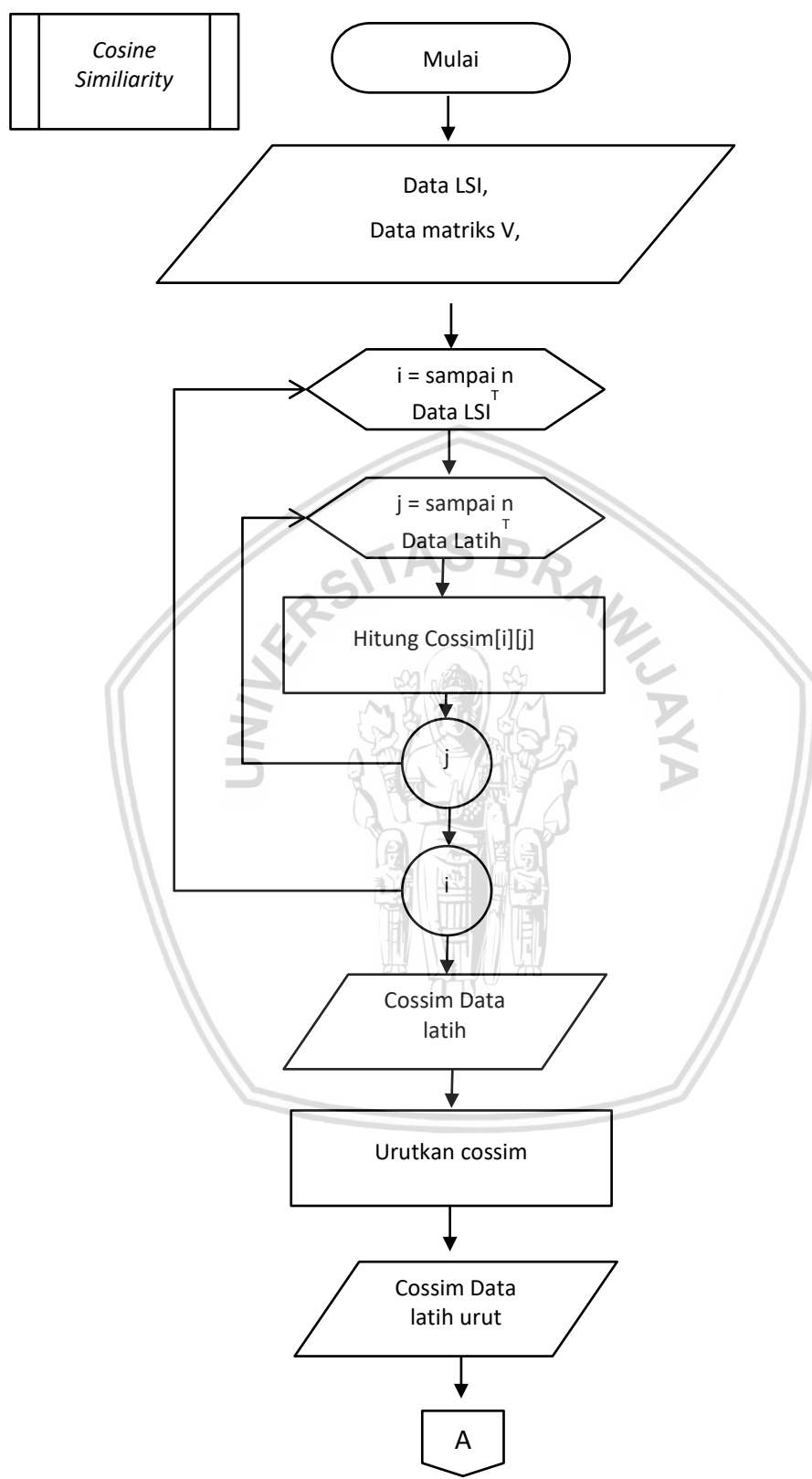
Proses LSI yaitu proses perhitungan data uji ke data matriks  $U$  dan matriks  $S^{-1}$  yang didapat dari hasil dekomposisi matriks pada proses SVD.

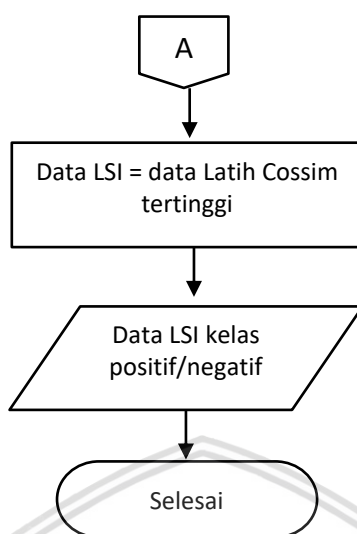


**Gambar 4.6 Diagram Alur LSI**

**4.2.2.2 Proses Cosine Similarity**

Proses menghitung kemiripan dari dua buah vektor yaitu vektor data latih yang telah diproses pada LSI dan nilai Matriks  $V$  dari proses SVD. Lalu mengurutkan hasil perhitungan. Setelah itu dicek hasil urutan teratas termasuk dokumen kelas positif atau kelas negatif.





Gambar 4.7 Diagram Alur *Cosine Similarity*

### 4.3 Perhitungan manual

#### 4.3.1 Perhitungan TF-IDF

Berikut data awal sebelum diproses. Data awal sebelum diproses dapat dilihat pada Tabel 4.1 berikut:

Tabel 4.1 data awal sebelum diproses

Data		Sentimen
data 1	good good well	Positif
data 2	well well good good enjoy enjoy	Positif
data 3	enjoy amazing amazing amazing	Positif
data 4	bad worst worst worse worse worse	Negatif
data 5	dissatisfying dissatisfying dissatisfying dissatisfying worst	Negatif
Query	good good well enjoy enjoy enjoy	?

Proses selanjutnya adalah proses *stemming* dengan menggunakan metode porter *stemmer*. Proses *stemming* disini mencakup proses *case folding* , dilanjutkan dengan proses tokenisasi, proses *filtering* dan terakhir *stemming*. Hasil *stemming* dapat dilihat pada Table 4.2.



**Tabel 4.2 Data ulasan yang telah melalui proses *stemming***

data		Sentimen
data 1	good good well	Positif
data 2	well well good good enjoi enjoi	Positif
data 3	enjoi amaz amaz amaz	Positif
data 4	bad worst worst wors wors wors	Negatif
data 5	dissatisfying dissatisfi dissatisfi dissatisfi worst	Negatif
Query	good good well enjoi enjoi enjoi	?

Setelah didapat hasil *stemming* maka proses selanjutnya adalah melakukan pembobotan frekuensi tiap term dan dari hasil pembobotan tersebut di cari nilai *DF* dengan menghitung frekuensi kata pada dokumen. Hasil pembobotan dan nilai *DF* dapat dilihat pada Tabel 4.3

**Tabel 4.3 Frekuensi Kemunculan Term Tiap Dokumen**

term	D1	D2	D3	D4	D5	Query	DF
Enjoi	0	2	1	0	0	3	3
Good	2	2	0	0	0	2	3
Bad	0	0	0	1	0	0	1
Amaz	0	0	3	0	0	0	1
Well	1	2	0	0	0	1	3
Wors	0	0	0	2	1	0	2
Dissatisfy	0	0	0	0	4	0	1
wors	0	0	0	3	0	0	1

Dilanjutkan dengan mencari nilai *WTF* dan *IDF*. Nilai *Wtf* yang didapat dari perhitungan dari  $\text{LOG } 10$  nilai *Tf*, sedangkan untuk *IDF* didapatkan dari  $\text{LOG } 10$  (jumlah term/*Df*). Hasil dari *Wtf* dan *Idf* dapat dilihat pada Tabel 4.4

**Tabel 4.4 perhitungan nilai WTF dan IDF**

term	D1	D2	D3	D4	D5	Query	IDF
Enjoi	0	1,30	1	0	0	1,48	0,30
Good	1,30	1,30	0	0	0	1,30	0,30
Bad	0	0	0	1	0	0	0,78
Amaz	0	0	1,48	0	0	0	0,78
Well	1	1,30	0	0	0	1	0,30
Wors	0	0	0	1,30	1	0	0,48



term	D1	D2	D3	D4	D5	Query	IDF
Dissatisfy	0	0	0	0	1,60	0	0,78
wors	0	0	0	1,48	0	0	0,78

Dilanjutkan dengan perhitungan *Wtd* dengan cara mengalikan nilai *Wtf* \* *Idf*. Hasil *Wtd* dapat dilihat pada Tabel 4.5

**Tabel 4.5** perhitungan nilai WTD sebelum dinormalisasi

term	D1	D2	D3	D4	D5	Query
Enjoi	0	0,39	0,30	0	0	0,44
Good	0,39	0,39	0	0	0	0,39
Bad	0	0	0	0,78	0	0
Amaz	0	0	1,15	0	0	0
Well	0,30	0,39	0	0	0	0,30
Wors	0	0	0	0,62	0,48	0
Dissatisfy	0	0	0	0	1,25	0
wors	0	0	0	1,15	0	0

Nilai *Wtd* yang didapat masih harus diteruskan dengan proses normalisasi agar nilai yang didapat terstruktur dengan baik. Hasil normalisasi dari *Wtd* dapat dilihat pada Tabel 4.6.

**Tabel 4.6** Perhitungan WTD setelah dinormalisasi

term	D1	D2	D3	D4	D5	Query
Enjoi	0	0,58	0,25	0	0	0,67
Good	0,79	0,58	0	0	0	0,59
Bad	0	0	0	0,51	0	0
Amaz	0	0	0,97	0	0	0
Well	0,61	0,58	0	0	0	0,45
Wors	0	0	0	0,41	0,36	0
Dissatisfy	0	0	0	0	0,93	0
wors	0	0	0	0,76	0	0

Proses selanjutnya mentranspose Matriks hasil normalisasi disini didefinisikan dengan Huruf *i* yang di transpose menjadi  $A^T$  yang ditunjukkan pada Tabel 4.7.



### 4.3.2 Perhitungan pemecahan matriks SVD

Tabel 4.7 Matriks  $A^T$

Doc	T1	T2	T3	T4	T5	T6	T7	T8
D1	0	0,79	0	0	0,61	0	0	0
D2	0,58	0,58	0	0	0,58	0	0	0
D3	0,25	0	0	0,97	0	0	0	0
D4	0	0	0,51	0	0	0,41	0	0,76
D5	0	0	0	0	0	0,36	0,93	0

Matriks  $A^T$  ditunjukkan dengan kolom menyatakan *term* dan baris menyatakan dokumen. Selanjutnya dilakukan perhitungan  $A^T.A$  yang ditunjukkan pada Table 4.8.

Tabel 4.8 Matriks  $A^T.A$

0,996	0,812	0	0	0
0,812	1,009	0,145	0	0
0	0,145	1,003	0	0
0	0	0	1,006	0,148
0	0	0	0,148	0,995

Mencari nilai *eigenvalue* dari perkalian matriks  $A^T.A$ .

$$\begin{bmatrix} 0,996 & 0,812 & 0 & 0 & 0 \\ 0,812 & 1,009 & 0,145 & 0 & 0 \\ 0 & 0,145 & 1,003 & 0 & 0 \\ 0 & 0 & 0 & 1,006 & 0,148 \\ 0 & 0 & 0 & 0,148 & 0,995 \end{bmatrix} - c \begin{bmatrix} 1 & 0 & 0 & 0 & 0 \\ 0 & 1 & 0 & 0 & 0 \\ 0 & 0 & 1 & 0 & 0 \\ 0 & 0 & 0 & 1 & 0 \\ 0 & 0 & 0 & 0 & 1 \end{bmatrix}$$

$$\begin{bmatrix} 0,996 & 0,812 & 0 & 0 & 0 \\ 0,812 & 1,009 & 0,145 & 0 & 0 \\ 0 & 0,145 & 1,003 & 0 & 0 \\ 0 & 0 & 0 & 1,006 & 0,148 \\ 0 & 0 & 0 & 0,148 & 0,995 \end{bmatrix} - \begin{bmatrix} c & 0 & 0 & 0 & 0 \\ 0 & c & 0 & 0 & 0 \\ 0 & 0 & c & 0 & 0 \\ 0 & 0 & 0 & c & 0 \\ 0 & 0 & 0 & 0 & c \end{bmatrix}$$

$$\begin{bmatrix} 0,996 - c & 0,812 & 0 & 0 & 0 \\ 0,812 & 1,009 - c & 0,145 & 0 & 0 \\ 0 & 0,145 & 1,003 - c & 0 & 0 \\ 0 & 0 & 0 & 1,006 - c & 0,148 \\ 0 & 0 & 0 & 0,148 & 0,995 - c \end{bmatrix} = 0$$

Perhitungan nilai *eigenvalue* dan nilai *eigenvector* dihitung dengan bantuan kalkulator matriks (<http://www.bluebit.gr/matrix-calculator/>). Didapatkan nilai *eigen* dan *singular* adalah sebagai berikut:

**Tabel 4.9 Nilai *eigen* dan nilai *singular***

	Eigenvalue	Singular value
c1	1,827	1,352
c2	0,178	0,422
c3	1,003	1,002
c4	1,149	1,071
c5	0,852	0,923

Nilai *singular* didapatkan dari hasil akar nilai *Eigen*. Lalu matriks *S* dibentuk dari nilai *singular* yang telah diurutkan dari nilai yang terbesar ke yang terkecil membentuk matriks diagonal. Matriks *S* terdapat pada Tabel 4.10.

**Tabel 4.10 Matriks *S***

1,352	0	0	0	0
0	1,071	0	0	0
0	0	1,002	0	0
0	0	0	0,923	0
0	0	0	0	0,422

Matriks  $S^{-1}$  digunakan untuk perhitungan pada saat proses *LSI*.

**Tabel 4.11 Matriks  $S^{-1}$**

0,740	0	0	0	0
0	0,934	0	0	0
0	0	0,998	0	0
0	0	0	1,083	0
0	0	0	0	2,370

Selanjutnya untuk membangun matriks *V* digunakan dari *Eigenvector* pada masing-masing nilai *Eigen* yang telah didapatkan. Terdapat lima nilai *Eigen* sesuai dengan jumlah dokumen.

Untuk  $c_1 = 1,827$

$$\begin{bmatrix} 0,996 - 1,827 & 0,812 & 0 & 0 & 0 \\ 0,812 & 1,009 - 1,827 & 0,145 & 0 & 0 \\ 0 & 0,145 & 1,003 - 1,827 & 0 & 0 \\ 0 & 0 & 0 & 1,006 - 1,827 & 0,148 \\ 0 & 0 & 0 & 0,148 & 0,995 - 1,827 \end{bmatrix}$$



$$\begin{bmatrix} -0,831 & 0,812 & 0 & 0 & 0 \\ 0,812 & -0,818 & 0,145 & 0 & 0 \\ 0 & 0,145 & -0,824 & 0 & 0 \\ 0 & 0 & 0 & -0,821 & 0,148 \\ 0 & 0 & 0 & 0,148 & -0,832 \end{bmatrix} \begin{bmatrix} x_1 \\ x_2 \\ x_3 \\ x_4 \\ x_5 \end{bmatrix} = \begin{bmatrix} 0 \\ 0 \\ 0 \\ 0 \\ 0 \end{bmatrix}$$

Sehingga diperoleh,

$$\begin{aligned} -0,831 x_1 + 0,812 x_2 + 0 x_3 + 0 x_4 + 0 x_5 &= 0 \\ 0,812 x_1 + -0,818 x_2 + 0,145 x_3 + 0 x_4 + 0 x_5 &= 0 \\ 0 x_1 + 0,145 x_2 + -0,824 x_3 + 0 x_4 + 0 x_5 &= 0 \\ 0 x_1 + 0 x_2 + 0 x_3 + -0,821 x_4 + 0,148 x_5 &= 0 \\ 0 x_1 + 0 x_2 + 0 x_3 + 0,148 x_4 + -0,832 x_5 &= 0 \end{aligned}$$

Jadi matriks untuk nilai eigen vector dengan nilai Eigen  $c_1 = 1,827$  adalah

$$\begin{bmatrix} x_1 \\ x_2 \\ x_3 \\ x_4 \\ x_5 \end{bmatrix} = \begin{bmatrix} -0,693 \\ -0,710 \\ -0,125 \\ 0 \\ 0 \end{bmatrix}$$

Perhitungan *eigenvector* berlanjut sampai dengan  $c_5 = 0,852$ , sehingga akan didapatkan matriks yang berisi semua nilai *Eigenvector* yang telah digabungkan menjadi matriks *V*. Tabel 4.12 menunjukkan hasil perhitungan *Eigenvector* mulai dari  $c_1 = 1,827$  sampai dengan  $c_5 = 0,852$ .

**Tabel 4.12 Matriks V**

<b>c1 = 1,827</b>	<b>c2 = 0,178</b>	<b>c3 = 1,003</b>	<b>c4 = 1.149</b>	<b>c5 = 0.852</b>
-0,693	0	-0,176	0	-0,699
-0,710	0	-0,002	0	0,704
-0,125	0	0,984	0	-0,124
0	0,721	0	-0,693	0
0	0,693	0	0,721	0

Selanjutnya membuat matriks *U*, hasil kali matriks *U* terdapat pada Tabel 4.13. Matriks *U* ini merupakan hasil nilai *Eigenvector* dari nilai *Eigenvalue*.

**4.13 Matriks U**

-0,328	0	0,245	0	0,895
-0,710	0	-0,140	0	-0,341

0	0,343	0	-0,383	0
-0,090	0	0,953	0	-0,285
-0,617	0	-0,108	0	-0,042
0	0,509	0	-0,027	0
0	0,602	0	0,726	0
0	0,511	0	-0,571	0

Untuk menyesuaikan hasil dekomposisi matriks  $A$ , maka dilakukan pengecekan melalui perkalian 3 buah matriks  $USV^T$ . Tabel 4.14 menunjukkan hasil transpose dari matriks  $V$ .

**Tabel 4.14 Matriks  $V^T$**

-0,693	-0,710	-0,125	0	0
0	0	0	0,721	0,693
-0,176	-0,002	0,984	0	0,000
0	0	0	-0,693	0,721
-0,699	0,704	-0,124	0	0

### 4.3.3 Proses LSI

Penggunaan SVD digunakan dalam LSI. Reduksi dimensi matriks ditentukan dengan nilai  $k = 3$ . Untuk nilai  $k = 3$ , maka dari matriks  $U$  akan diambil 4 dimensi untuk dimensi kolom yang ditunjukkan pada Table 4.15

**Tabel 4.15 Matriks  $U$  dengan  $k = 3$**

-0,328	0	0,245
-0,710	0	-0,140
0	0,343	0
-0,090	0	0,953
-0,617	0	-0,108
0	0,509	0
0	0,602	0
0	0,511	0

Selanjutnya perhitungan *query vector* dari SVD, sehingga akan didapatkan masing-masing dari  $q^T$ ,  $U$  dan  $S^{-1}$  kemudian mengalikan ketiga matriks tersebut. Untuk matriks  $S^{-1}$  dengan  $k = 3$  akan diambil 3 dimensi untuk dimensi baris dan kolom yang ditunjukkan pada Table 4.16



**Tabel 4.16 Matriks  $S^{-i}$  dengan  $k = 3$**

0,740	0	0
0	0,934	0
0	0	0,998

Nilai  $q^T$  didapatkan dari hasil nilai normalisasi untuk dokumen *query* yang telah di *transpose*. Table 4.17 menunjukan nilai  $q^T$ .

**Tabel 4.17 Matriks  $q^T$**

0,670	0,590	0	0	0,450	0	0	0
-------	-------	---	---	-------	---	---	---

Nilai  $q'$  dengan  $k = 4$

**Tabel 4.17 Matriks  $q' = q^T U_k \cdot S_k^{-i}$**

-0,678	0	0,033
--------	---	-------

Setelah mendapat nilai  $q'$ , maka mencari relevansi dari *query* tersebut dengan menggunakan *cosine similiary*. Nilai  $q = q'$  dan  $d = V$  dari dekomposisi matriks SVD.

**Tabel 4.18 Hasil Pembilang dari *cosine similiary***

q			Dok	D			q.d			$\Sigma(q.d)$
-0,678	0	0,033	D1	-0,693	0	-0,176	0,469	0	-0,005	0,464
			D2	-0,710	0	-0,002	0,481	0	-6,6E-05	0,481
			D3	-0,125	0	0,984	0,084	0	0,0324	0,117
			D4	0	0,721	0	0	0	0	0
			D5	0	0,693	0	0	0	0	0

**Tabel 4.19 Hasil Penyebut dari *cosine similiary***

q <sup>2</sup>			Dok	d <sup>2</sup>			$\Sigma(q^2)$	$\Sigma(d^2)$	$\Sigma(q^2) \cdot \Sigma(d^2)$	$ q  \cdot  d $
-0,678	0	0,033	D1	0,480	0	0,030	0,460	0,511	0,235	0,485
			D2	0,504	0	4E-06		0,504	0,232	0,481
			D3	0,015	0	0,968		0,983	0,453	0,673
			D4	0	0,519	0		0,519	0,239	0,489
			D5	0	0,480	0		0,480	0,221	0,470

Sehingga didapatkan hasil *similarity* atau relevansi *query* dengan menggunakan perhitungan *cosine similiary* dapat dilihat pada Tabel 4.20



Tabel 4.20 Hasil similiaritas

Hasil Sebelum diurutkan	Hasil setelah diurutkan
E1 0,956	E2 0,998
E2 0,998	E1 0,956
E3 0,174	E3 0,174
E4 0,000	E4 0,000
E5 0,000	E5 0,000

Dari hasil pada Tabel 4.20 didapat hasil *similarity query* yang tertinggi yaitu dengan dokumen E2 yang memiliki sentimen positif, maka *query* termasuk ke dalam katagori positif.

#### 4.4 Pengujian manual

Proses Pengujian dilakukan menggunakan *confusion matrix*. Pertama mencari nilai *TP*, *FN*, *TN*, dan *FP*. Proses pengujian manual dilakukan menggunakan sampel data sebanyak 50 yang terdiri dari 25 data positif dan 25 data negatif. Sampel data dapat dilihat pada Tabel 4.21.

Tabel 4.21 Sampel data pengujian

n=50 Doc Uji	Doc Uji	Hasil	Check
+	1	-	FN
+	2	+	TP
+	3	+	TP
+	4	+	TP
+	5	+	TP
+	6	+	TP
+	7	+	TP
+	8	+	TP
+	9	+	TP
+	10	+	TP
+	11	+	TP
+	12	+	TP
+	13	+	TP
+	14	+	TP
+	15	+	TP
+	16	+	TP
+	17	+	TP
+	18	-	FN
+	19	+	TP

+	20	+	TP
+	21	-	FN
+	22	+	TP
+	23	+	TP
+	24	+	TP
+	25	+	TP
-	26	+	FP
-	27	-	TN
-	28	-	TN
-	29	-	TN
-	30	-	TN
-	31	-	TN
-	32	+	FP
-	33	-	TN
-	34	-	TN
-	35	-	TN
-	36	+	FP
-	37	+	FP
-	38	+	FP
-	39	+	FP
-	40	-	TN
-	41	-	TN
-	42	-	TN
-	43	-	TN
-	44	-	TN
-	45	-	TN
-	46	-	TN
-	47	-	TN
-	48	+	FP
-	49	+	FP
-	50	+	FP

Dari Table 4.21 didapatkan nilai *TP* sebanyak 22, nilai *TP* didapat jika dok uji positif dan hasil uji juga positif. Nilai *FN* didapat jika data uji positif namun menghasilkan hasil uji negatif, nilai *FN* didapat sebanyak 3. Nilai *TN* didapat jika data uji negatif dan hasil uji juga negatif, nilai *TN* didapat sebanyak 16. Nilai *FP* didapat jika data uji negatif dan hasil uji positif, nilai *FP* didapat sebanyak 9. Hasil dari nilai *TP*, *FN*, *TN*, dan *FP* dapat dilihat pada table 4.22

**Tabel 4.22 Table nilai *TP*, *FN*, *TN* dan *FP***

TP	22
FN	3

TN	16
FP	9

Setelah mendapatkan nilai  $TP, FN, TN$  dan  $FP$  dilanjutkan untuk mencari nilai *true positif rate* dengan Persamaan 2.2 yang dijelaskan pada Bab 2, *true negative rate* dengan Persamaan 2.3 yang dijelaskan pada Bab 2 dan *akurasi* dengan persamaan 2.1 yang dijelaskan pada Bab 2. Proses perhitungan dapat dilihat pada Tabel 4.23.

**Tabel 4.23 Tabel Confusion Matrix**

n=50 k= 45	Predicted : No	Predicted : Yes	
Actual : No	TN = 16	FP = 9	25
Actual : Yes	FN = 3	TP = 22	25
	19	31	

Pengujian yang dilakukan disini adalah mencari nilai *true positive rate*, *true negative rate*, dan akurasi. Hasil pengujian dapat dilihat pada Tabel 4.24.

**Tabel 4.24 Tabel Hasil Pengujian manual**

True Positive Rate	True Negative Rate	Akurasi
0,88	0,64	78%

Hasil pengujian menunjukkan nilai *true positive rate* yang didapat adalah 0.88, nilai *true negative rate* yang didapat adalah 0.64 dan untuk hasil akurasi dari pengujian di atas adalah 78%.

#### 4.5 Perancangan Pengujian

Pada sistem ini terdapat dilakukan beberapa scenario pengujian untuk melihat apakah kinerja sistem sesuai dengan tujuan awal penelitian. Pengujian yang akan digunakan yaitu pengujian *k-rank*, pengujian *true positive rate*, dan pengujian *true negative rate*.

#### 4.6 Penarikan Simpulan

Penarikan simpulan dilakukan setelah semua tahapan mulai dari perancangan, implementasi dan pengujian sistem selesai di jalankan dan menghasilkan suatu hasil. Setelah penarikan simpulan selanjutnya akan diberikan saran. Saran ini ditulis sebagai pertimbangan untuk penelitian kedepannya yang dilakukan untuk pengembangan.

## BAB 5 IMPLEMENTASI DAN PENGUJIAN

### 5.1 Batasan Implementasi

Batasan implementasi merupakan batasan yang dipenuhi oleh sistem berdasarkan bab-bab sebelumnya. Dengan tujuan agar sistem dapat fokus dalam proses menyelesaikan masalah yang terjadi dan tidak keluar dari tujuan utama penelitian. Beberapa batasan dalam proses implementasi pada penelitian ini adalah sebagai berikut:

1. Analisis sentiment ulasan video animasi pada penelitian ini diimplementasikan dengan bahasa pemrograman *Java*.
2. Metode yang dipergunakan untuk penyelesaian masalah pada penelitian ini yang digunakan adalah *Latent Semantic Indexing*.
3. Data yang digunakan berupa kalimat ulasan positif dan negatif yang diambil dari *website* myanimelist yang kemudian disimpan dalam fail txt.
4. Hasil keluaran adalah data sentiment data yang diuji yakni positif atau negatif
5. Pengujian akurasi, *true positive rate* dan *true negative rate* menggunakan metode *confusion matrix*.

### 5.2 implementasi Sistem

Pada Implementasi sistem, penulis menjelaskan tentang sistem yang dibuat melalui kode program. Tahapan implementasi sistem diuraikan berdasarkan tahap perancangan sistem. Pembahasan dilakukan per-kelas dari program yang di buat. Daftar seluruh proses dan fungsi dalam sistem di tunjukkan oleh Tabel 5.1.

**Tabel 5.1 Daftar Method**

No	Proses	Fungsi (Method)	Keterangan
1	<i>Pre-Processing</i>	<i>CaseFolding()</i>	Mengubah kata dari huruf besar menjadi huruf kecil dan menghapus tanda baca
		<i>Filtering()</i>	Menghapus kata yang yang tidak dibutuhkan dengan cara mengecek terhadap stopword yang di buat
		<i>PorterStemming()</i>	Menghapus awalan dan akhiran agar menjadi kata dasar

2	TF-IDF	<i>Tf()</i>	Menghitung nilai <i>term</i> dari <i>frequency</i> kata yang keluar
		<i>Df()</i>	Menghitung nilai frekuensi dokumen
		<i>Idf()</i>	Menghitung <i>idf</i> dengan cara mengkalikan <i>Tf</i> dan <i>Df</i> .
		<i>Wtd()</i>	Menghitung <i>TF-IDF</i> dokumen yang di <i>input</i> .
		<i>Normalisasi()</i>	Melakukan normalisasi terhadap hasil dari <i>Wtd</i>
3	SVD	<i>getMatrixS()</i>	Mendapatkan nilai matriks <i>S</i>
		<i>getMatriksU()</i>	Mendapatkan nilai matriks <i>U</i>
		<i>getMatriksV()</i>	Mendapatkan nilai matriks <i>V</i>
		<i>getMatrixSi()</i>	Mendapatkan nilai matriks <i>Si</i> dengan cara men inverse matrix <i>S</i>
		<i>getLSI()</i>	Mendapatkan nilai <i>q'</i> dengan menggunakan perhitungan LSI
		<i>getCosSin()</i>	Menghitung nilai <i>cossin</i> sampai pada mendapatkan nilai smiliaritas dokumen
		<i>getHasil()</i>	Mendapatkan hasil dari query yang telah di proses melalui <i>getCosSin()</i> untuk di cocokkan apakah query tersebut termasuk ke sentiment positif atau sentiment negatif
		<i>getPengujian()</i>	Menghitung hasil pengujian dari nilai yang didapat dari <i>getHasil()</i> dan di cocokkan pada index positif dan negatif data uji



### 5.2.1 Kelas SVD

Kelas *SVD* adalah kelas utama yang mengimplementasikan semua proses perhitungan sampai dengan proses pengujian. *Source code* dan pembahasan dari tiap *method* di kelas *SVD* dapat dilihat pada Kode Program 5.1.

```
1 public class SVD {
2
3     Matrix A;
4     double U[][];
5     double Vt[][];
6     double [][] normalisasi;
7     double [][] normalisasiLatih;
8     double [][] normalisasiUji;
9     int [] Y;
10    int [] YUji;
11    int [] maxIndex;
12    int [] hasilUji;
13    int nilaiK ;
14    TFIDFDoc Uji;
15    int dataNormalisasiLatih = 100;
16    int dataNormalisasiUji = 50;
17    double[][] normalisasiLatihT;
18    double[][] normalisasiUjiT;
19    //TFIDFDoc T;
20
21    public SVD(List<String> terms, List<List<String>> Documents, int
    nilaiKinput){
22        TFIDFDoc Latih = new TFIDFDoc(terms,Documents);
23        normalisasi = Latih.getNormalisasi();
24        nilaiK = nilaiKinput;
25        getNormalisasiLatih();
26        getNormalisasiTranspose();
27        setMatrixU();
28        setMatrixS();
29        setMatrixV();
30        setMatrixSi();
31
32        int dl = 50;
33        int Y1[] = new int[dl];
34        int Y2[] = new int[dl];
35
```



```
36     Y = new int[dataNormalisasiLatih];
37
38     for (int i = 0; i < dl; i++) {
39         Y1[i] = 1;
40         Y2[i] = 0;
41     }
42
43     for (int i = 0; i < dataNormalisasiLatih; i++) {
44         if (i < dl) {
45             Y[i] = Y1[i];
46         } else {
47             Y[i] = Y2[i - dl];
48         }
49     }
50
51     int dlUji = 25;
52     int YUji1[] = new int [dlUji];
53     int YUji2[] = new int [dlUji];
54
55     YUji = new int[dataNormalisasiUji];
56
57     for (int i = 0; i < dlUji; i++) {
58         YUji1[i] = 1;
59         YUji2[i] = 0;
60     }
61
62     for (int i = 0; i < dataNormalisasiUji; i++) {
63         if (i < dlUji){
64             YUji[i] = YUji1[i];
65         }else {
66             YUji[i] = YUji2[i - dlUji];
67         }
68     }
69
70     System.out.println("Y");
71     for (int i = 0; i < dataNormalisasiLatih; i++) {
72         System.out.println(Y[i]);
73     }
74 }
75
76 public void setUji(){
77
```

```
78     getNormalisasiUji();
79     setMatrixLSI();
80     getCosSin();
81     getHasil();
82     getPengujian();
83
84
85 }
86
87 public void getNormalisasiLatih(){
88     double [][] normalisasiTotal = normalisasi;
89     normalisasiLatih = new double
90 [dataNormalisasiLatih][normalisasi[0].length];
91     System.out.println("normalisasi latih");
92     for (int i = 0; i < dataNormalisasiLatih; i++) {
93         for (int j = 0; j < normalisasi[i].length; j++) {
94             normalisasiLatih[i][j] = normalisasiTotal[i][j];
95             System.out.printf("%.2f",normalisasiLatih[i][j]);
96             System.out.print("||");
97         }
98         System.out.println();
99     }
100     //return normalisasiLatih;
101 }
102 public void getNormalisasiUji(){
103     double [][] normalisasiTotal = normalisasi;
104     int l = 0;
105
106     normalisasiUji = new
107 double[dataNormalisasiUji][normalisasi[0].length];
108     System.out.println("normalisasi Uji");
109     for (int i = dataNormalisasiLatih ; i < normalisasi.length;
110 i++) {
111         for (int j = 0; j < normalisasi[i].length; j++) {
112             normalisasiUji[l][j] = normalisasiTotal[i][j];
113         }
114         l++;
115     }
116
117 public void getNormalisasiTranspose(){
```

```
118 Matrix A = new Matrix(normalisasiLatih);
119 Matrix At = A.transpose();
120 normalisasiLatihT = At.getArray();
121 System.out.println("normalisasi Transpose");
122 for (int i = 0; i < normalisasiLatihT.length; i++) {
123     for (int j = 0; j < normalisasiLatihT[0].length; j++) {
124
125     }
126
127 }
128 }
129
130
131 public double[][] getMatrixS() {
132     Matrix A = new Matrix(normalisasiLatihT);
133     Matrix AtA = A.transpose().times(A);
134
135     SingularValueDecomposition svd = A.svd();
136     Matrix U = svd.getU();
137     double [][] matrixU = U.getArray();
138
139     EigenvalueDecomposition e = AtA.eig();
140     Matrix D = e.getD();
141     Matrix S = e.getD();
142
143     int k = 0;
144     int l = 0;
145     for (int i = MatrixD.length - 1; i >= 0; i--) {
146         l=0;
147         for (int j = MatrixD[i].length - 1; j >= 0; j--) {
148             MatrixS[k][l] = MatrixD[i][j];
149             l++;
150         }
151         k++;
152
153     }
154
155     int a =0;
156     int b = MatrixS.length;
157     for (int i = 0; i < MatrixS.length; i++) {
158         for (int j = 0; j < MatrixS[i].length; j++) {
```

```
159         if (MatrixS[i][i] == MatrixS[j][j] && MatrixS[i][j]
160         <= 0) {
161             a++;
162             break;
163         }else{
164             }
165         }
166     }
167
168
169     double [][] hasil = new
170     double[matrixU[0].length][matrixU[0].length];
171     for (int i = 0; i < matrixU[0].length; i++) {
172         for (int j = 0; j < matrixU[0].length; j++) {
173             hasil [i][j] = MatrixS[i][j];
174         }
175     }
176     return hasil;
177 }
178
179
180
181
182 public double [][] getMatrixU(){
183     Matrix A = new Matrix(normalisasiLatihT);
184     SingularValueDecomposition svd = A.svd();
185
186     Matrix U = svd.getU();
187     double [][] MatrixU = U.getArray();
188     double [][] MatrixUk = new double [MatrixU.length][nilaiK];
189     for (int i = 0; i < MatrixU.length; i++) {
190         for (int j = 0; j < nilaiK; j++) {
191             MatrixUk[i][j] = MatrixU[i][j];
192         }
193     }
194     return MatrixUk;
195 }
196
197
198
199 public double[][] getMatrixV(){
```

```
200 Matrix A = new Matrix(normalisasiLatihT);
201 SingularValueDecomposition svd = A.svd();
202
203 Matrix V = svd.getV();
204 double [][] matrixV = V.getArray();
205 double [][] matrixVk = new double[matrixV.length][nilaiK];
206 for (int i = 0; i < matrixV.length; i++) {
207     for (int j = 0; j < nilaiK; j++) {
208         matrixVk[i][j] = matrixV[i][j];
209     }
210     //System.out.println();
211 }
212 return matrixVk;
213 }
214
215 public double[][] getMatrixSi(){
216
217     Matrix B = new Matrix (getMatrixS());
218     Matrix Si = B.inverse();
219     double matrixSi [][] = Si.getArray();
220     double matrixSik [][] = new double [nilaiK][nilaiK];
221     for (int i = 0; i < nilaiK; i++) {
222         for (int j = 0; j < nilaiK; j++) {
223             matrixSik[i][j] = matrixSi[i][j];
224         }
225     }
226
227 }
228
229
230 return matrixSik;
231 }
232
233 public void getNormalisasiUjiTranspose(){
234     Matrix A = new Matrix(normalisasiUji);
235     Matrix At = A.transpose();
236     normalisasiUjiT = At.getArray();
237     System.out.println("normalisasi Uji Transpose");
238     for (int i = 0; i < normalisasiUjiT.length; i++) {
239         for (int j = 0; j < normalisasiUjiT[0].length; j++) {
240             System.out.printf("%.2f",normalisasiUjiT[i][j]);
241             System.out.print("||");
```

```
242     }
243     System.out.println();
244 }
245 }
246
247
248 public double[][] getLSI(){
249
250
251     Matrix uji = new Matrix(normalisasiUji);
252     Matrix U = new Matrix(getMatrixU());
253     Matrix Si = new Matrix(getMatrixSi());
254     Matrix LSI = U.times(Si);
255     LSI = uji.times(LSI);
256
257     double [][] MatrixLSI = LSI.getArray();
258
259     return MatrixLSI;
260 }
261
262
263
264 public void getCosSin(){
265     double [][] q = getLSI();
266     double [][] d = getMatrixV();
267
268     int count = d.length*q.length;
269     double [][] qd = new double [count][q[0].length];
270     int b = 0;
271     int c = 0;
272     for (int i = 0; i < q.length; i++) {
273         for (int j = 0; j < d.length; j++){
274             for (int k = 0; k < d[0].length; k++){
275                 qd[b][k] = q[i][k]*d[j][k];
276             }
277             b++;
278         }
279     }
280
281
282     //double [][] Pembilang = Pem.getArray();
283     System.out.println("Q * D");
```

```
284     for (int i = 0; i < count; i++) {
285
286         for (int j = 0; j < q[0].length; j++) {
287
288             System.out.printf("%.2f",qd[i][j]);
289             System.out.print("||");
290         }
291         System.out.println();
292
293
294         double [] totalqd = new double[count];
295         System.out.println("Matrix Pembilang");
296         for (int i = 0; i < count; i++) {
297             for (int j=0; j<q[0].length;j++){
298                 totalqd[i] += qd[i][j];
299             }
300             System.out.printf("%.4f",totalqd[i]);
301             System.out.println();
302         }
303
304
305         //PENYEBUT
306         double [][] q2 = new double[q.length][q[0].length];
307         System.out.println("q2");
308         for (int i=0;i<q2.length;i++){
309             for(int j=0;j<q2[i].length;j++){
310                 q2[i][j] = Math.pow(q[i][j], 2);
311                 System.out.printf("%.2f",q2[i][j]);
312                 System.out.print("||");
313             }
314             System.out.println("");
315         }
316
317         double [][] d2 = new double [d.length][d[0].length];
318         System.out.println("d2");
319         for (int i=0;i<d2.length;i++){
320             for(int j=0;j<d2[i].length;j++){
321                 d2[i][j] = Math.pow(d[i][j], 2);
322                 System.out.printf("%.2f",d2[i][j]);
323                 System.out.print("||");
324             }

```



```
325         System.out.println("");
326     }
327
328     double [] totalq2 = new double[q2.length];
329     System.out.println("totalq2");
330     for (int i = 0; i < q2.length; i++) {
331         for (int j=0; j<q2[i].length;j++){
332             totalq2[i] += q2[i][j];
333         }
334         System.out.printf("%.2f",totalq2[i]);
335
336         System.out.println();
337     }
338
339     double [] totald2 = new double[d2.length];
340     System.out.println("totald2");
341     for (int i = 0; i < d2.length; i++) {
342         for (int j=0; j<d2[i].length;j++){
343             totald2[i] += d2[i][j];
344         }
345         System.out.printf("%.2f",totald2[i]);
346         System.out.println();
347     }
348
349     double [] totalq2d2 = new double [count];
350     int e = totald2.length;
351     for (int i = 0; i < totalq2.length; i++) {
352         for (int j = 0; j <totald2.length; j++){
353             c++;
354         }
355     }
356
357     for (int i = 0; i < count; i++) {
358         if (totalq2d2[i]==0){
359             totalq2d2[i]=1;
360         }
361     }
```

```
362
363 //Pembilang / Penyebut
364 double[] PemPen = new double[count];
365
366 for (int i = 0; i < count; i++) {
367     PemPen[i] = totalqd[i]/totalq2d2[i];
368 }
369
370
371 List<double[]> splitted = new ArrayList<double[]>(); //This
list will contain all the splitted arrays.
372 int lengthToSplit = d.length;
373
374 int arrayLength = PemPen.length;
375
376 for (int i = 0; i < arrayLength; i = i + lengthToSplit) {
377     double[] val = new double[lengthToSplit];
378
379     if (arrayLength < i + lengthToSplit) {
380         lengthToSplit = arrayLength - i;
381     }
382     System.arraycopy(PemPen, i, val, 0, lengthToSplit);
383     splitted.add(val);
384 }
385
386
387 System.out.println("splitted");
388 for (int i = 0; i < q.length; i++) {
389     for (int j = 0; j<d.length; j++){
390         System.out.println(splitted.get(i)[j]);
391     }
392     System.out.println();
393 }
394
395
396 //Sorting
397
398 System.out.println("splitted");
399 for (int i = 0; i < q.length; i++) {
400     for (int j = 0; j<d.length; j++){
401         System.out.println(splitted.get(i)[j]);
402     }
```

```
403         System.out.println();
404     }
405
406     //CheckMAX
407     maxIndex = new int[splitted.size()];
408     double [] maxValue = new double [splitted.size()];
409     for (int i = 0; i < splitted.size(); i++) {
410         maxValue[i] =0;
411         maxIndex[i] =0;
412         for (int j = 0; j<splitted.get(i).length; j++){
413             if (splitted.get(i)[j] > maxValue[i]) {
414                 maxValue[i] = splitted.get(i)[j];
415                 maxIndex[i] = j;
416             }
417         }
418     }
419 }
420
421 }
422
423
424 public void getHasil(){
425     hasilUji = new int [maxIndex.length];
426     System.out.println("Hasil Uji");
427     for (int i = 0; i < maxIndex.length ; i++) {
428         hasilUji[i] = Y[maxIndex[i]];
429     }
430 }
431 }
432
433 public void getPengujian(){
434     int tp =0;
435     int fn =0;
436     int tn =0;
437     int fp =0;
438     for (int i = 0; i < hasilUji.length; i++) {
439         if(YUji[i]==1 && hasilUji[i]==1){
440             tp +=1;
441         }else if(YUji[i]==1 && hasilUji[i]==0){
442             fn +=1;
443         }else if(YUji[i]==0 && hasilUji[i]==0){
444             tn +=1;
```

445	}else if(∑Uji[i]==0 && hasilUji[i]==1){
446	fp +=1;
447	}
448	}
449	
450	
451	//Perhitungan accuracy
452	double accuracy = (0.1 * (tp+tn)) / (0.1 * (tp+fn+tn+fp));
453	double TPRate = (0.1 * (tp)) / (0.1 * (fn+tp));
454	double specificity = (0.1 * (tn)) / (0.1 * (tn+fp));
455	}
456	

**Kode Program 5.1 Implementasi kode program utama perhitungan SVD dan LSI**

**Keterangan Kode Program 5.1.**

- Baris 3-18 : melakukan inialisasi atribut
- Baris 21-30 : konstruktor untuk menjalankan *method* data latih
- Baris 32-49 : membuat indeks data latih
- Baris 51-68 : membuat indeks data uji
- Baris 76 -85 : *method* untuk menjalankan *method* data uji
- Baris 87-100 : mendapatkan nilai tf-idf ternormalisasi untuk data latih
- Baris 102-115 : mendapatkan nilai tf-idf ternormalisasi untuk data uji
- Baris 117-128 : mendapatkan nilai *transpose* dari tf-idf ternormalisasi untuk data latih
- Baris 131-179 : menghitung matriks *S*
- Baris 182-196 : menghitung matriks *U*
- Baris 199-213 : menghitung matriks *V*
- Baris 216-230 : menghitung matriks *S* yang akan di *Inverse*
- Baris 233-245 : mendapatkan nilai transpose dari *tf-idf* ternormalisasi untuk data uji
- Baris 248-259 : menghitung Matriks LSI yang telah didapatkan nilai nya dari matriks *S*, matriks *U* dan matriks *S inverse*
- Baris 264-368 : menghitung nilai *cosine similiarity* untuk mencari kedekatan dokumen latih dengan dokumen uji
- Baris 398-403 : mengurutkan hasil kedekatan dokumen uji di tiap dokumen latih dari yang terbesar ke terkecil

- Baris 407-421 : mendapatkan dokumen dengan kedekatan terbesar dari data uji terhadap data latih
- Baris 424-428 : menunjukkan hasil pengujian kedekatan dokumen tiap data uji terhadap data latih apakah dokumen data uji tersebut masuk ke dalam kelas positif atau kelas negatif
- Baris 433-455 : menghitung pengujian akurasi program serta, *true positif rate* dan *true negative rate*

### 5.3 Pengujian Nilai *k-rank*

Pengujian dilakukan untuk mengetahui hasil dari program yang dibuat dengan perbedaan dari nilai *k-rank* yang di *inputkan* dan perbedaan jumlah data latih positif dan negatif. Dari banyak perbedaan nilai *k-rank* dan perbedaan jumlah data latih positif dan negatif yang di uji, dilakukan analisis terhadap pengujian yang telah dilakukan.

Pengujian ini dilakukan dengan menguji 50 data uji yang terdiri dari 25 data uji positif dan 25 data uji negatif data ke 3 varian data latih. Pengujian pertama menggunakan data latih sebanyak 100 dengan rasio 50 data positif dan 50 data negatif. pengujian kedua menggunakan data latih sebanyak 150 dengan rasio 100 data positif dan 50 data negatif. Pengujian ketiga menggunakan data latih sebanyak 150 dengan rasio 50 data positif dan 100 data negatif. untuk mengetahui nilai *k-rank* terbaik dari variasi nilai *k-rank* yang diuji, pengujian dilakukan sebanyak 19 kali dengan 19 nilai *k-rank* yang berbeda. Hasil pengujian data dilihat apda Tabel 5.2.

**Tabel 5.2 Hasil Pengujian akurasi pada beberapa nilai *k-rank* dari 3 data latih yang berbeda**

Pengujian Ke -	Nilai <i>k-rank</i>	Akurasi		
		Data latih (50 positif : 50 negatif)	Data latih (100 positif : 50 negatif)	Data latih (50 positif : 100 negatif)
1	5	0,60	0,58	0,58
<b>2</b>	10	<b>0,86</b>	0,80	<b>0,86</b>
3	15	0,78	0,74	0,80
4	20	0,84	0,80	0,84
5	25	0,74	0,80	0,78
6	30	0,80	<b>0,82</b>	0,76
7	35	0,74	0,76	0,76

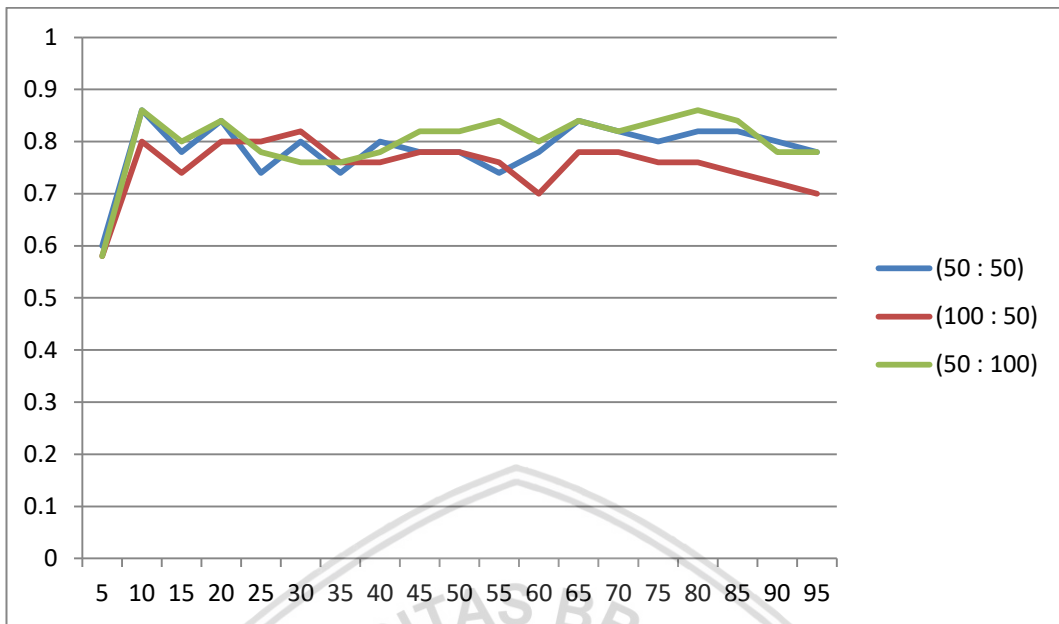


8	40	0,80	0,76	0,78
9	45	0,78	0,78	0,82
10	50	0,78	0,78	0,82
11	55	0,74	0,76	0,84
12	60	0,78	0,70	0,80
13	65	0,84	0,78	0,84
14	70	0,82	0,78	0,82
15	75	0,80	0,76	0,84
16	80	0,82	0,76	<b>0,86</b>
17	85	0,82	0,74	0,84
18	90	0,80	0,72	0,78
19	95	0,78	0,70	0,78

### 5.3.1 Hasil dan analisis *k-rank*

Pada tiga kali pengujian nilai *k-rank* terhadap akurasi yang didapatkan program dengan jumlah data uji sebanyak 50. Terlihat pada pengujian pertama dengan jumlah data latih sebanyak 50 data positif dan 50 data negatif menghasilkan akurasi optimal pada nilai *k-rank* = 10 sebesar 86%. Pada pengujian kedua dengan jumlah data latih sebanyak 100 data positif dan 50 data negatif menghasilkan akurasi optimal pada nilai *k-rank* = 30 sebesar 82% dan pada pengujian ketiga dengan jumlah data latih sebanyak 50 data positif dan 100 data negatif menghasilkan akurasi optimal pada nilai *k-rank* = 10 dan *k-rank* = 80 sebesar 86%.

Pada Tabel 5.7 dapat dilihat bahwa nilai *k-rank* yang dimasukkan sangat berpengaruh terhadap hasil akurasi yang didapatkan. Hal ini terlihat ketika nilai *k-rank* yang dimasukkan sangat kecil, maka hasil akurasi kurang optimal dikarenakan fitur yang terlalu kecil akan membuat data menjadi bias. Hasil kurang optimal juga di dapatkan saat nilai *k-rank* yang dimasukkan terlalu besar, dikarenakan terlalu banyak fitur sehingga *range* datanya terlalu luas. Dari tiga kali pengujian yang dilakukan dengan jumlah data latih yang berbeda-beda dapat disimpulkan bahwa besarnya nilai *k-rank* yang dimasukkan sangat berpengaruh terhadap akurasi yang dihasilkan program karena *k-rank* merupakan banyak fitur pada data latih. Hasil akurasi dari pengujian nilai *k-rank* dapat dilihat pada Gambar 5.1.



Gambar 5.1 Grafik Akurasi pada beberapa nilai *k-rank* dari 3 data latih yang berbeda

#### 5.4 Pengujian *True Positive Rate*

Pengujian *True Positive Rate* dilakukan untuk melihat berapa persentase data uji positif yang menghasilkan hasil positif. Pengujian dilakukan dengan jumlah data uji positif sebanyak 25. Untuk melihat persentase *true positive rate* dilakukan pengujian dengan menggunakan Persamaan 2.2. Hasil dari pengujian *true positive rate* dapat dilihat pada Tabel 5.3.

Tabel 5.3 Hasil Pengujian *True Positive Rate* pada beberapa nilai *k-rank* dari 3 data latih yang berbeda

Pengujian Ke -	Nilai <i>k-rank</i>	True Positive Rate		
		Data latih (50 positif : 50 negatif)	Data latih (100 positif : 50 negatif)	Data latih (50 positif : 100 negatif)
1	5	0,68	0,72	0,44
2	10	<b>1,00</b>	0,96	0,88
3	15	0,92	0,92	0,84
4	20	0,96	<b>1,00</b>	<b>0,96</b>
5	25	0,96	0,96	<b>0,96</b>

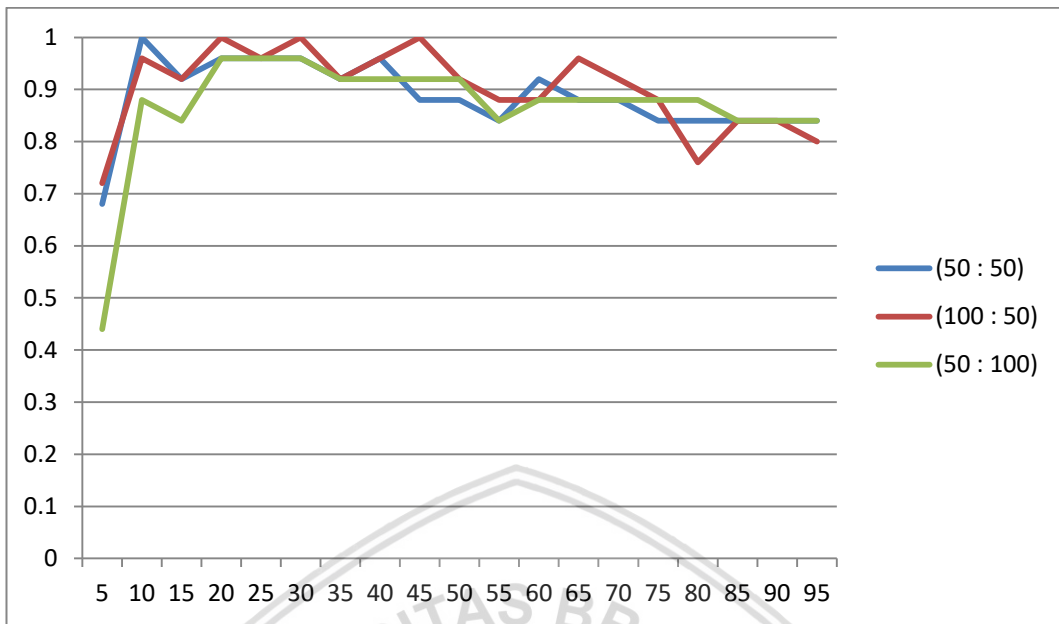
6	30	0,96	<b>1,00</b>	<b>0,96</b>
7	35	0,92	0,92	0,92
8	40	0,96	0,96	0,92
9	45	0,88	<b>1,00</b>	0,92
10	50	0,88	0,92	0,92
11	55	0,84	0,88	0,84
12	60	0,92	0,88	0,88
13	65	0,88	0,96	0,88
14	70	0,88	0,92	0,88
15	75	0,84	0,88	0,88
16	80	0,84	0,76	0,88
17	85	0,84	0,84	0,84
18	90	0,84	0,84	0,84
19	95	0,84	0,80	0,84

#### 5.4.1 Hasil dan Analisis *True Positive Rate*

Pada tiga kali pengujian *true positive rate* dengan jumlah data uji sebanyak 25. Terlihat pada pengujian pertama dengan jumlah data latih sebanyak 50 data positif dan 50 data negatif menghasilkan persentase optimal pada nilai *k-rank* = 10 sebesar 100%. Pada pengujian kedua dengan jumlah data latih sebanyak 100 data positif dan 50 data negatif menghasilkan persentase optimal pada nilai *k-rank* = 20, 30 dan 45 sebesar 100% dan pada pengujian ketiga dengan jumlah data latih sebanyak 50 data positif dan 100 data negatif menghasilkan persentase optimal pada nilai *k-rank* = 20, 25 dan 30 sebesar 96%.

Pada Tabel 5.2 dapat dilihat besar persentase pengujian *true positive rate* dengan nilai *k-rank* dan jumlah data latih yang berbeda, terlihat bahwa hasil persentase *true positive rate* dapat dikatakan baik dikarenakan data uji positif aktual dengan hasil dari pengujian *true positive rate* memiliki nilai yang hampir sama bahkan sampai dengan 100% sama. Pada pengujian pertama nilai *true positive rate* pada *k-rank* = 10 menghasilkan persentase 100% yang berarti jumlah data uji positif yang menghasilkan hasil positif sebanyak 25 dan hasil tersebut sama dengan jumlah data uji positif aktual. Hasil Pengujian *true positive rate* dapat dilihat pada Gambar 5.2.





Gambar 5.2 Grafik true positive rate pada beberapa nilai k-rank dari 3 data latih yang berbeda

### 5.5 Pengujian True Negative Rate

Pengujian True Negative Rate dilakukan untuk melihat berapa persentase data uji negatif yang menghasilkan hasil negatif. Pengujian dilakukan dengan jumlah data uji negatif sebanyak 25. Untuk melihat persentase true negative rate dilakukan pengujian dengan menggunakan Persamaan 2.3. Hasil dari pengujian true positive rate dapat dilihat pada Tabel 5.4.

Tabel 5.4 Hasil Pengujian True Negative Rate pada beberapa nilai k-rank dari 3 data latih yang berbeda

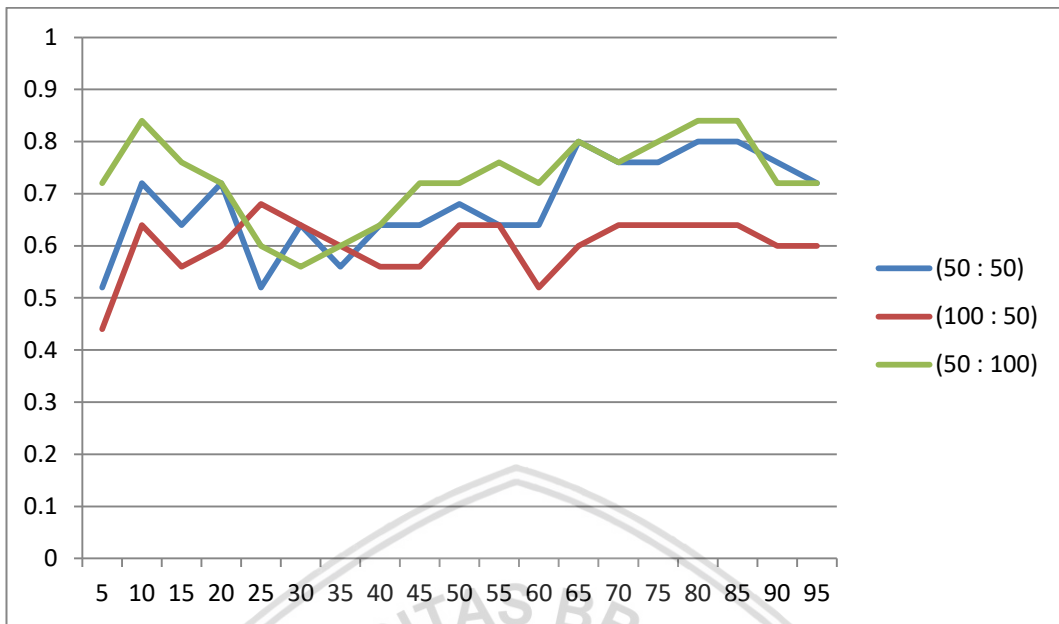
Pengujian Ke -	Nilai k-rank	True Negative Rate		
		Data latih (50 positif : 50 negatif)	Data latih (100 positif : 50 negatif)	Data latih (50 positif : 100 negatif)
1	5	0,52	0,44	0,72
2	10	0,72	0,64	<b>0,84</b>
3	15	0,64	0,56	0,76
4	20	0,72	0,60	0,72
5	25	0,52	<b>0,68</b>	0,60
6	30	0,64	0,64	0,56

7	35	0,56	0,60	0,60
8	40	0,64	0,56	0,64
9	45	0,64	0,56	0,72
10	50	0,68	0,64	0,72
11	55	0,64	0,64	0,76
12	60	0,64	0,52	0,72
13	65	<b>0,80</b>	0,60	0,80
14	70	0,76	0,64	0,76
15	75	0,76	0,64	0,80
16	80	<b>0,80</b>	0,64	<b>0,84</b>
17	85	<b>0,80</b>	0,64	<b>0,84</b>
18	90	0,76	0,60	0,72
19	95	0,72	0,60	0,72

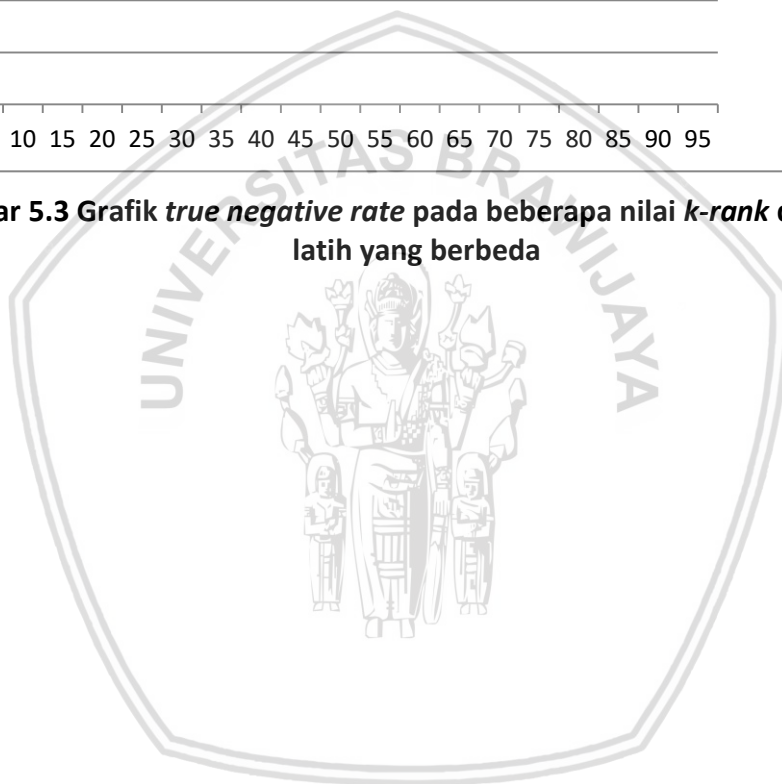
### 5.5.1 Hasil dan Analisis Pengujian *True Negative Rate*

Pada tiga kali pengujian *true negative rate* dengan jumlah data uji sebanyak 25. Terlihat pada pengujian pertama dengan jumlah data latih sebanyak 50 data positif dan 50 data negatif menghasilkan persentase optimal pada nilai *k-rank* = 65, 80 85 sebesar 80%. Pada pengujian kedua dengan jumlah data latih sebanyak 100 data positif dan 50 data negatif menghasilkan persentase optimal pada nilai *k-rank* = 25, sebesar 68% dan pada pengujian ketiga dengan jumlah data latih sebanyak 50 data positif dan 100 data negatif menghasilkan persentase optimal pada nilai *k-rank* = 10, 80 dan 85 sebesar 84%.

Pada Tabel 5.2 dapat dilihat besar persentase pengujian *true negative rate* dengan nilai *k-rank* dan jumlah data latih yang berbeda, terlihat bahwa hasil persentase *true negative rate* dapat dikatakan cukup baik dikarenakan hasil persentase masih termasuk tinggi. Namun, hasil pengujian *true negative rate* menghasilkan rata – rata di bawah 65%. Hal ini dikarenakan, ketika suatu data memiliki kata–kata positif namun mengandung makna spoiler/membeberkan jalan cerita dari sebuah cerita yang menyebabkan data tersebut mendapat penilaian negatif meskipun berisi kata kata positif. Hasil Pengujian *true negative rate* dapat dilihat pada Gambar 5.3.



Gambar 5.3 Grafik *true negative rate* pada beberapa nilai *k-rank* dari 3 data latih yang berbeda



## BAB 6

### PENUTUP

Dalam bab ini akan dibahas simpulan dari perancangan, implementasi, serta pengujian sistem dari analisis sentimen ulasan video animasi menggunakan metode *Latent Semantic Indexing*, serta saran untuk digunakan dalam pengembangan yang lebih baik lagi ke depannya.

#### 6.1 Kesimpulan

Dari hasil Perancangan, implementasi, pengujian dan analisis pada penelitian analisis sentimen ulasa video animasi menggunakan metode *Latent Semantic Indexing* maka dapat diambil kesimpulan sebagai berikut:

1. Metode *Latent Semantic Indexing* (LSI) dapat diimplementasikan pada analisis sentimen ulasan video animasi. Data ulasan diambil dari website [myanimelist.net](http://myanimelist.net). *Pre-Processing* yang digunakan yaitu *Case Folding*, *Tokenisasi*, *Filtering* dan *Stemming*. Lalu di proses dengan metode TF IDF untuk mengubah kata menjadi sebuah nilai.
2. Metode LSI untuk analisis sintimen pada ulasa video animasi menghasilkan akurasi optimal sebesar 86% dari percobaan dengan 19 nilai  $k$  yang berbeda. Dari hasil pengujian dianalisis bahwa semakin besar nilai  $k$ -rank yang di uji maka data yang dihasilkan akan stabil namun semakin besar nilai  $k$ -rank yang dimasukkan hasil akurasi yang didapat akan semakin menurun dikarenakan terlalu banyak fitur sehingga range datanya terlalu luas. Sedangkan untuk nilai  $k$ -rank yang terlalu kecil memberikan hasil yang kurang bagus dikarenakan fitur yang terlalu kecil akan membuat data menjadi bias.

#### 6.2 Saran

Untuk dapat meningkatkan hasil dari yang didapat pada penelitian ini, diharapkan untuk penelitian selanjutnya bisa melakukan beberapa perbaikan pada hal-hal sebagai berikut:

1. Diharapkan pada peneliti selanjutnya untuk melakukan optimasi fitur atau agar hasil akurasi yang didapat lebih maksimal.
2. Diharapkan pada peneliti selanjutnya untuk menggunakan metode yang dapat mereduksi fitur agar hasil yang didapatkan lebih baik.

## DAFTAR PUSTAKA

- Budi, S. 2017 Text Mining Untuk Analisis Sentimen Review Film Menggunakan Algoritma K-Means. *Techno.COM*, Vol. 16, No. 1.
- Ehkharghani, R., Mercan, H., Javeed, A., & Saygin, Y., 2014. Dehkharghani, R., Mercan, H., Javeed, A., & Saygin, Y. Sentimental causal rule discovery from Twitter. *Expert Systems with Applications*, 41(10), 4950–4958. doi:10.1016/j.eswa.2014.02.024.
- Ipmawati, J., Kusriani, & Lithfi. E.T., 2017. Komparasi Teknik Klasifikasi Teks Mining Pada Analisis Sentimen, *Indonesian Journal on Networking and Security - Volume 6 No 1*.
- Kristiyanti, D. A., 2015. Analisis Sentimen Review Produk Kosmetik Menggunakan Algoritma Support Vector Machine Dan Particle Swarm Optimization Sebagai Metode Seleksi Fitur, Seminar Nasional Inovasi dan Tren (SNIT).
- Liu, B., & Zhang, Z., 2012. *A Survey of Opinion Mining and Sentiment Analysis*. Springer, US.
- Medhat, W., Hassan, A., & Korashy, H., 2014. Sentiment analysis algorithms and applications : A survey. *Ain Shams Engineering Journal*, 5(4), 1093–1113.
- Santra, B. K., & Christy, C. J., 2012. Genetic Algorithm and Confusion Matrix for Document Clustering, *International Journal of Computer Science Issues*, Vol. 9, Issue 1, No 2.
- Sari, Y., Ridok, A., 2012, Penentuan lirik lagu berdasarkan emosi menggunakan sistem temu kembali informasi dengan metode latent semantic indexing. Universitas Brawijaya, Malang.
- Sari, Y., & Puspaningrum, E.Y., 2013, Pencarian Semantik Dokumen Berita Menggunakan Essential Dimension of Latent Semantic Indexing dengan Memakai Reduksi Fitur Document Frequency dan Information Gain Thresholding. Universitas Brawijaya, Malang.
- Vijayarani, S., Ilamathi, J., & Nithya., 2015. Preprocessing Techniques for Text Mining - An Overview. *International Journal of Computer Science & Communication Networks*, Vol 5(1), 7-16.
- Yamout, F., Demachkieh, R., Hamdan, G., Sabra, R., 2004. Further Enhancement to the Porter's Stemming Algorithm. In: *Machine Learning and Interaction for Text based Information Retrieval*, Germany, pp. 7– 23.
- Zafikri, Atika., 2008, Implementasi Metode Term Frequency Inverse Document Frequency (TF-IDF) Pada Sistem Temu Kembali Informasi. Universitas Sumatera Utara, Medan.

Zhang, Z., Ye, Q., Zhang, Z., & Li, Y. 2011. Sentiment classification of Internet restaurant reviews written in Cantonese. *Expert Systems with Applications*, 38(6), 7674– 7682. doi:10.1016/j.eswa.2010.12.147.

